



appunti
www.centroappunti.it

Corso Luigi Einaudi, 55/B - Torino

Appunti universitari

Tesi di laurea

Cartoleria e cancelleria

Stampa file e fotocopie

Print on demand

Rilegature

NUMERO: 2361A

ANNO: 2018

A P P U N T I

STUDENTE: Scuderi Paolo

MATERIA: Meccanica delle Macchine - Prof. Marchesiello

Il presente lavoro nasce dall'impegno dell'autore ed è distribuito in accordo con il Centro Appunti. Tutti i diritti sono riservati. È vietata qualsiasi riproduzione, copia totale o parziale, dei contenuti inseriti nel presente volume, ivi inclusa la memorizzazione, rielaborazione, diffusione o distribuzione dei contenuti stessi mediante qualunque supporto magnetico o cartaceo, piattaforma tecnologica o rete telematica, senza previa autorizzazione scritta dell'autore.

ATTENZIONE: QUESTI APPUNTI SONO FATTI DA STUDENTI E NON SONO STATI VISIONATI DAL DOCENTE.
IL NOME DEL PROFESSORE, SERVE SOLO PER IDENTIFICARE IL CORSO.

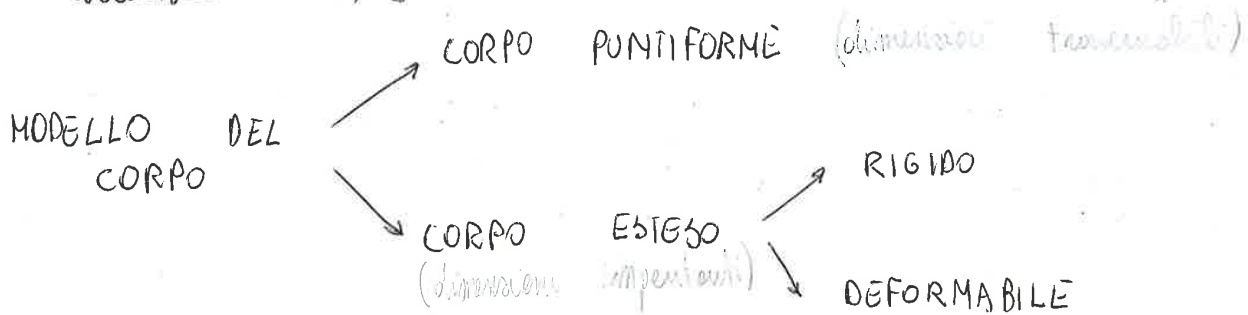
MECCANICA DELLE MACCHINE

①

CINEMATICA è lo studio del moto dei corpi indipendentemente dalle cause che lo producono (è vietato parlare di azioni (forze e momenti))

Le grandezze tipiche a cui si fa riferimento sono:

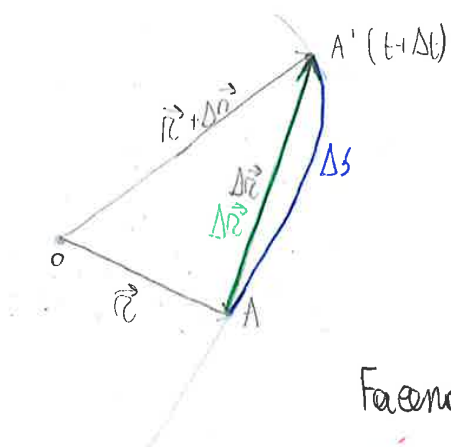
- tempo (t)
 - spazio (s)
 - velocità (v)
 - accelerazione (a)
- non GRANDEZZE VETTORIALI \Rightarrow una loro variazione (della dimensione) può avere causa sia dalla variazione del modul.
- che delle dimensioni



CINEMATICA DEL PUNTO

TRAJECTORIA insieme delle posizioni assunte dal punto nel tempo

MOTO PIANO la traiettoria è contenuta in un piano detto piano del moto



Δs è la distanza percorsa (scalone)
 $\Delta r'$ è una variazione (vettore)

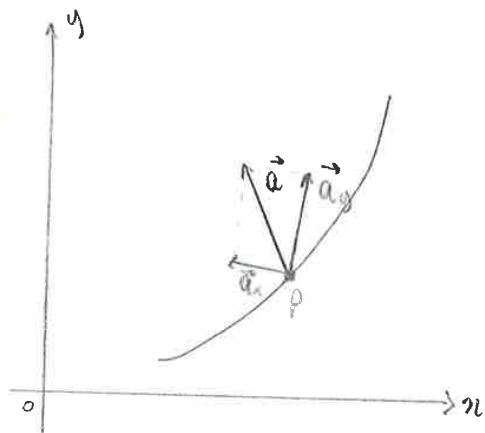
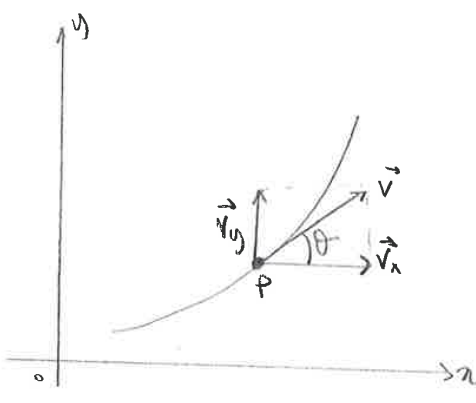
$$\vec{v}_m = \frac{\Delta \vec{r}}{\Delta t}$$

VELOCITÀ MEDIA (in Δt)

Facendo tendere $\Delta t \rightarrow 0$ si ottiene la VELOCITÀ ISTANTANEA (o velocità)

$$\vec{v}_{def} = \lim_{\Delta t \rightarrow 0} \frac{\Delta \vec{r}}{\Delta t} = \frac{d\vec{r}}{dt}$$

(3)



$$|\vec{v}| = v = \sqrt{v_x^2 + v_y^2}$$

$$v_x = \dot{x}$$

$$v_y = \dot{y}$$

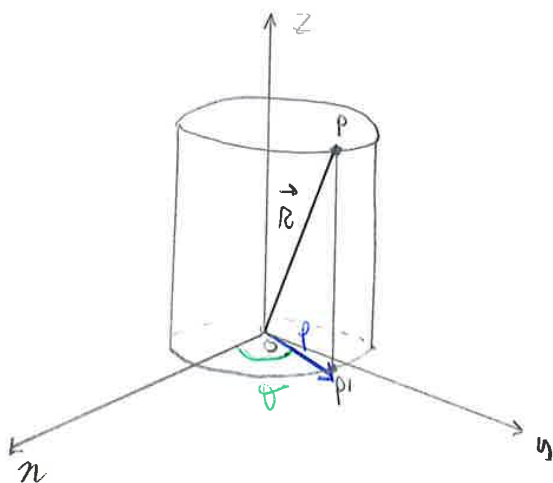
$$|\vec{a}| = a = \sqrt{a_x^2 + a_y^2}$$

$$a_x = \ddot{x}$$

$$a_y = \ddot{y}$$

2) COORDINATE CILINDRICHE

si utilizzano, in genere, quando il moto ha una direzione assiale



$$P(r, \theta, z)$$

trovato P , lo proietta $\Rightarrow P'$, si collega con P'

$$\overrightarrow{OP'} = p$$

θ = angolo tra \hat{i} e $\overrightarrow{OP'}$

$$\begin{cases} x = r \cos \theta \\ y = r \sin \theta \\ z = z \end{cases}$$

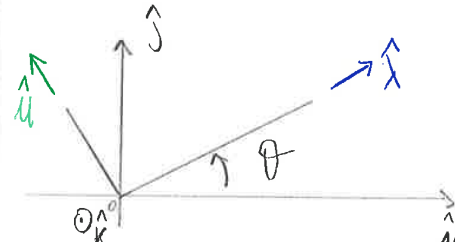
$$\frac{d\cos \theta}{dt} = \frac{dr \cdot \cos \theta + r \cdot d\theta}{dt} = -r \sin \theta \cdot \dot{\theta}$$

$$\text{dove } \dot{\theta} = \omega = \frac{d\theta}{dt}$$

$$\begin{aligned} \cdot \vec{r} &= r \hat{r} + z \hat{k} \\ \cdot \vec{r}' &= \frac{d\vec{r}}{dt} = \dot{r} \hat{r} + r \left(\frac{d\hat{r}}{dt} \right) + \dot{z} \hat{k} \end{aligned}$$

ANALIZZO (pf. d'app)

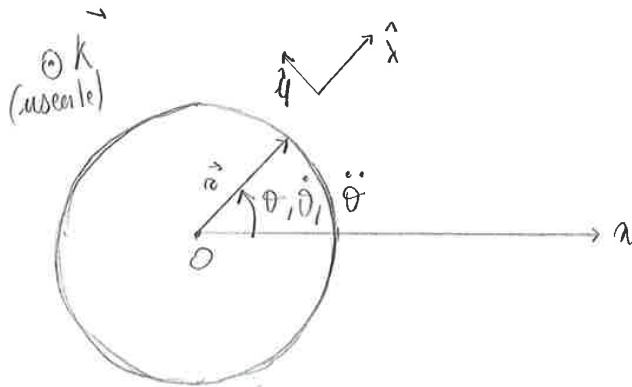
NOTA: \hat{r} e $\hat{\lambda}$ NON sono fissi



$$\begin{aligned} \hat{\lambda} &= \cos \theta \hat{i} + \sin \theta \hat{j} \\ \hat{\alpha} &= -\sin \theta \hat{i} + \cos \theta \hat{j} \end{aligned}$$

CASO PARTICOLARE: MOTO CIRCOLARE

(5)



$$\begin{aligned} r &= R \\ \vec{r} &= R\hat{\lambda} \\ \omega &= \text{const} \Rightarrow \dot{\omega} = 0 \\ \text{cinconferenza} \end{aligned}$$

$$\begin{aligned} \vec{v} &= \frac{d\vec{r}}{dt} = R\vec{\omega} \wedge \hat{\lambda} = R\dot{\theta}\hat{k} \wedge \hat{\lambda} = \\ &= R\dot{\theta}\hat{\mu} \quad \text{tangente alla} \\ &\quad \text{traiettoria} \end{aligned}$$

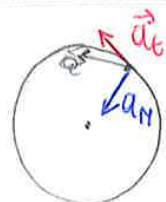
$$\vec{a} = \ddot{\theta}\hat{\mu} \vec{r} + R\dot{\theta}(-\dot{\theta}\hat{\lambda}) = \underbrace{R\ddot{\theta}\hat{\mu}}_{\text{acc. tang. } a_t} \underbrace{- R\dot{\theta}^2\hat{\lambda}}_{\text{acc. } \perp \text{ } a_n}$$

$$\boxed{\begin{aligned} a_t &= R\ddot{\theta} = R\dot{\omega} \\ a_n &= -R\dot{\theta}^2 = -R\omega^2 \end{aligned}}$$

d'accelerazione è centripeta \Rightarrow la F può essere centrifuga ma con un segno " - " davanti.

Nel moto circolare uniforme

$$\omega = \text{const} \Rightarrow \dot{\omega} = 0 \Rightarrow a_t = 0$$

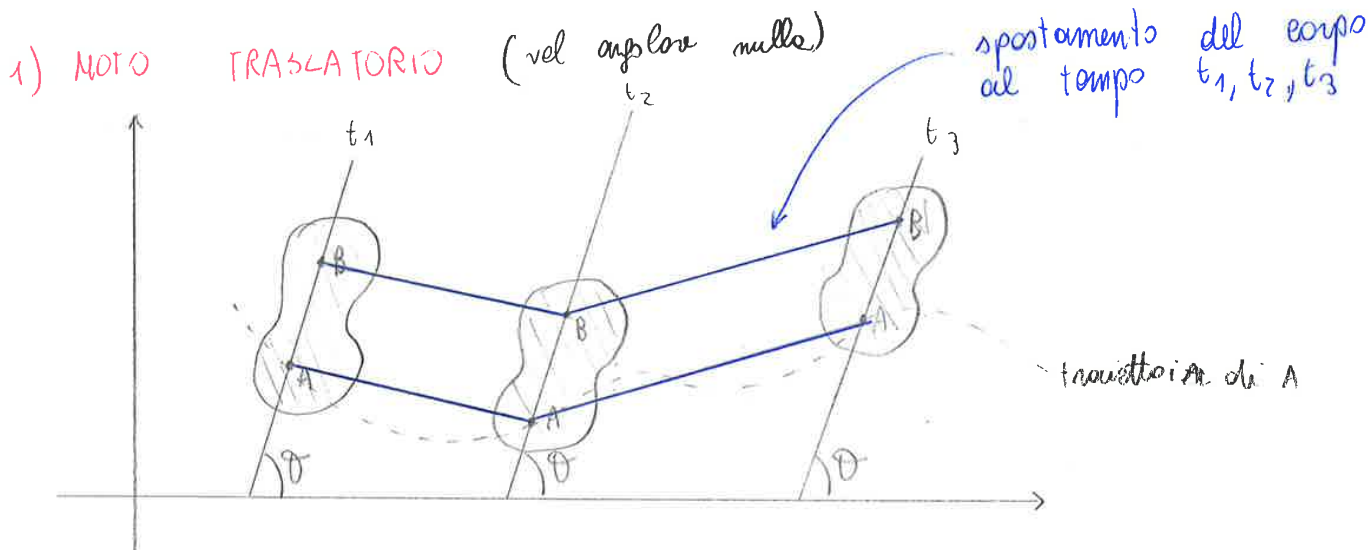


$$\boxed{\vec{a} = \vec{a}_N = -\omega^2 R \hat{\lambda}}$$

Affiamo 3 tipi di moto:

(7)

- 1) MOTO TRASLATORIO (rettilineo o curvilineo)
- 2) MOTO ROTATORIO AITORNO AD UN ASSE FISSO
- 3) MOTO PIANO GENERICO



Il moto traslatorio è un moto con horizzontale dal fatto che qualunque retta solidale con il corpo rimane parallela a se stessa (la traiettoria può anche essere curvilinea, non per forza rettilinea)

$$\theta = \text{cost} \Rightarrow \dot{\theta} = 0 \Rightarrow \ddot{\theta} = 0$$

$$\overrightarrow{AB} = \overrightarrow{A'B'} \quad (\text{RIGIDITÀ}) \rightarrow AA'BB' \quad \text{parallelogramma} \Rightarrow \overrightarrow{AA'} = \overrightarrow{BB'}$$

$$\vec{v}_A = \lim_{\Delta t \rightarrow 0} \frac{\overrightarrow{AA'}}{\Delta t} = \lim_{\Delta t \rightarrow 0} \frac{\overrightarrow{BB'}}{\Delta t} = \vec{v}_B$$

| | | |
|-------------------------|-------------------------|--------------|
| $\vec{v}_A = \vec{v}_B$ | $\vec{a}_A = \vec{a}_B$ | V eppie A, B |
|-------------------------|-------------------------|--------------|

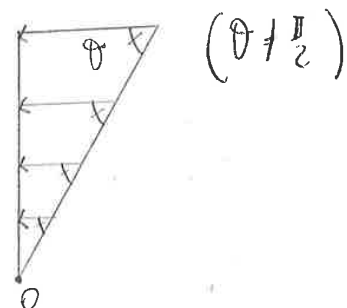
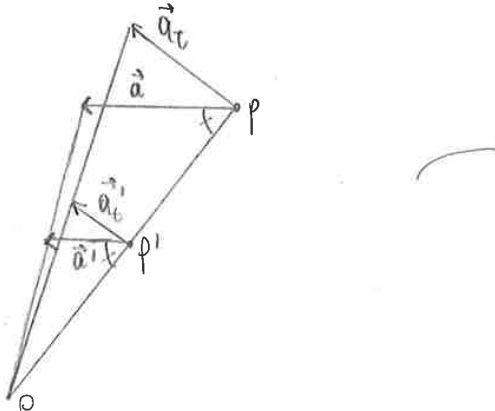
In ogni istante di tempo le velocità sono uguali (comunque istante le \vec{v} possono essere diverse, ma risulterebbe sempre $\vec{v}_A = \vec{v}_B$)

$$\vec{a}_P = \frac{d\vec{v}_P}{dt} = r\ddot{\theta}\hat{u} + r\dot{\theta}^2\hat{\lambda}$$
(9)

$$a_P = \sqrt{a_t^2 + a_N^2} = \sqrt{(r\ddot{\theta})^2 + (r\dot{\theta}^2)^2} = r\sqrt{\ddot{\theta}^2 + \dot{\theta}^4} \Rightarrow \boxed{a_P \propto r}$$

$$\tan \gamma = \frac{a_t}{a_N} = \frac{\dot{\omega}}{\omega^2}$$

Vale la DISTRIBUZIONE TRIANGOLARE DELLA ACCELERAZIONI



CASI PARTICOLARI

1) MOTO CIRCOLARE UNIFORME

$$\begin{cases} \omega = \text{cost} \Rightarrow \dot{\omega} = 0 \\ a_t = 0 \Rightarrow \gamma = 0 \end{cases}$$

2) MOTO INCIPIENTE (che sta per inizio)

$$\omega = 0 \quad \text{e} \quad \dot{\omega} \neq 0$$

Appena si parte con l'auto la vel. ist. è = 0, ma acc. ≠ 0

$$\begin{cases} a_N = 0 \\ a_t \neq 0 \\ \gamma = \frac{\pi}{2} \end{cases}$$

Derivando le formule fondamentale delle cinematiche si ottiene il **TEOREMA DI RIVALS** (11)

$$\vec{a}_B = \vec{a}_A + \vec{a}_{B/A}$$

Piuttosto dei 3 termini può dunque origine a 2 componenti:

$$\begin{aligned} \vec{a}_{B/A} &= \vec{a}_{B/A_N} + \vec{a}_{B/A_t} \\ \bullet \vec{a}_{B/A_N} &= -\omega^2 l \hat{\lambda} (-\tau \omega^2) \\ \bullet \vec{a}_{B/A_t} &= \dot{\omega} l \hat{\mu} (\tau \dot{\omega}) \end{aligned}$$

Formule equivalenti (sono usate di Rivals e F.F.C.)

$$\left\{ \begin{array}{l} \vec{v}_B = \vec{v}_A + \vec{\omega} \wedge \vec{AB} \\ \vec{a}_B = \vec{a}_A + \frac{d\vec{\omega}}{dt} \wedge \vec{AB} + \vec{\omega} \wedge (\vec{\omega} \wedge \vec{AB}) \end{array} \right.$$

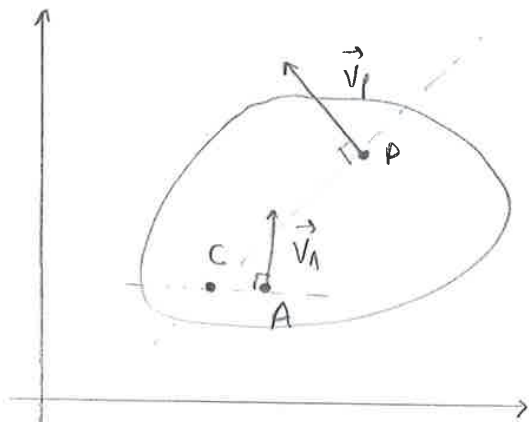
APPARTIENE
AD UN PIANO
SOLIDALE
AL CORPO
RIGIDO

Esempio: **CENTRO DI INSTANTANEA ROTAZIONE (CIR)**
punto C la cui $v = 0$ (ogni corpo rigido lo possiede)

$$|\vec{v}_p| \propto PC$$

Esistono dei criteri per individuarlo

Note le velocità di due punti del corpo



- 1) rette + a \vec{v}_p
- 2) rette + a \vec{v}_A
- 3) C è il punto di intersezione

NOTA CIR può essere posto fuori dal corpo rigido

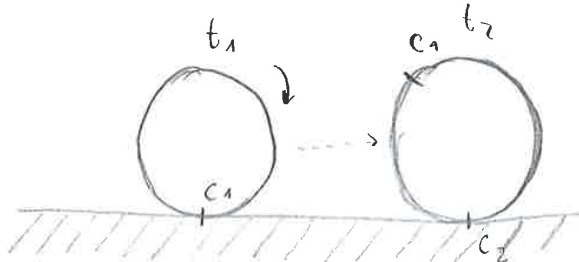
$$\vec{V}_{CIR} = 0 \neq \vec{a}_{CIR} = 0 \quad (\text{può essere, ma anche no}) \quad (13)$$

Il CIR viene anche detto "CENTRO DELLE VELOCITÀ" che non è il CENTRO DELLE ACCELERAZIONI (per quanto mostrato prima)

→ Che traiettoria descrive il CIR nel tempo?

La traiettoria descritta dal CIR si chiama POLARE. Fissa nel piano fisso oppure POLARE MOBILE nel piano mobile solidale con il corpo.

ESEMPIO: RUOTA CHE ROTOLA SENZA STRISCIARE (rotolamento puro)



v_{c_1} è la stessa di quella del tenore (nullo)

Nel moto di ROTOLAMENTO PURO i due corpi, nel pt. di contatto, hanno le stesse velocità

la POLARE FISSA è la retta del tenore

la POLARE MOBILE è la circonferenza dello moto

PROPRIETÀ (vale sempre)

la polare mobile muo_z sulla polare fisso senza strisciare

\vec{v}_B moto completamente

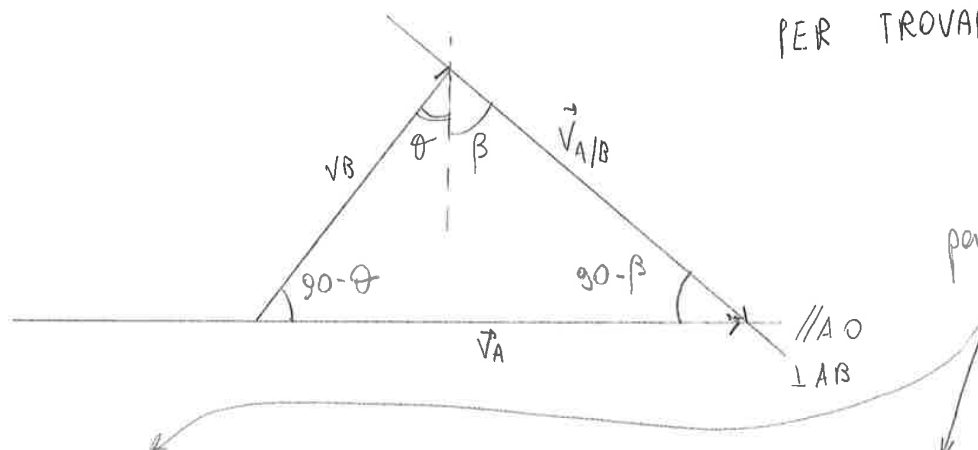
$\vec{v}_A, \vec{v}_{A/B}$ moti solo in direzione

SUCCEDEG
così NEI PROBLEMI
DI CINEMATICA

(15)

Triangolo delle velocità (non in scala)

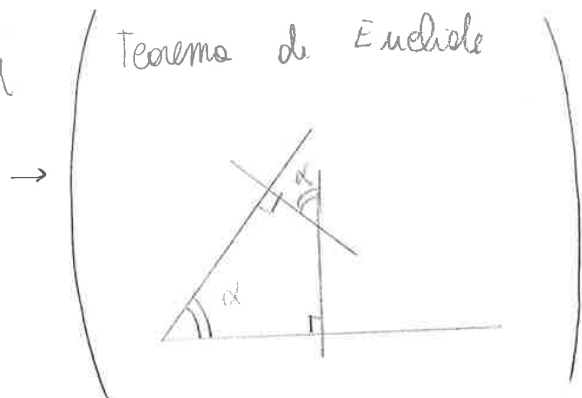
↓
PER TROVARE IL VERSO



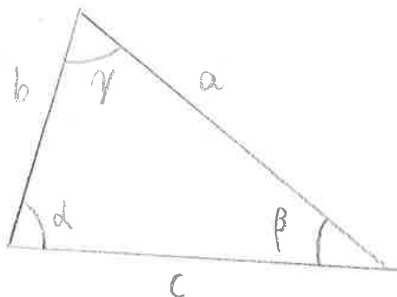
per capire gli angoli

RAGIONAMENTO:

"l'angolo compreso fra la \perp ad AB e la \parallel ad Ao nel disegno iniziale è?"



Teorema dei seni



$$\frac{a}{\sin \alpha} = \frac{b}{\sin \beta} = \frac{c}{\sin \gamma}$$

→ PER TROVARE

INCognite

$$\frac{v_B}{\sin(90-\beta)} = \frac{v_A}{\sin(\theta+\beta)} = \frac{v_{A/B}}{\sin(90-\theta)}$$

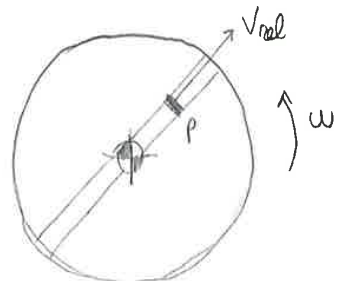
$$\frac{v_A}{\sin(\theta+\beta)} = \frac{v_B}{\sin(90-\beta)}$$

$$\frac{v_{A/B}}{\sin(90-\theta)} = \frac{v_B}{\sin(\theta-\beta)}$$

MOTI COMPOSTI o MOTI RELATIVI

(17)

giusto

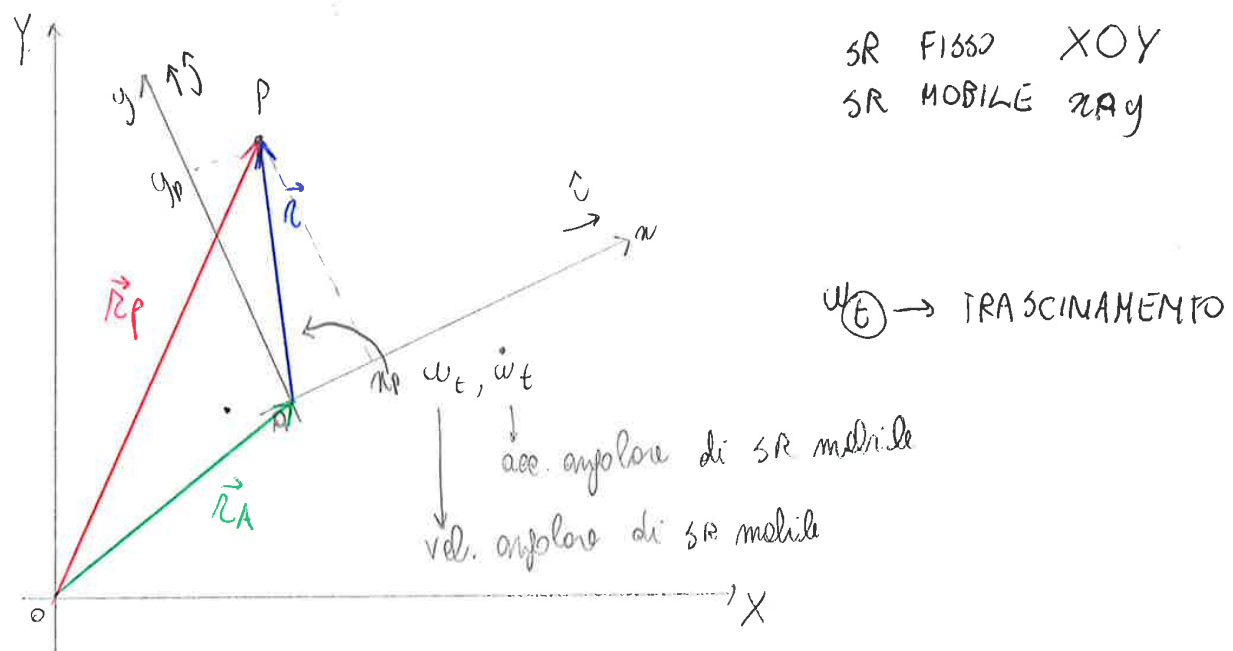


Per calcolare la v di P visto da un osservatore che non muove abbiamo bisogno di due sistemi di riferimento

\swarrow \nwarrow

S_R $\begin{cases} \text{FISSO} \\ \text{MOBILE} \end{cases}$ (sotto orbitone)

Il S_R MOBILE è scelto arbitrariamente ma in modo che sia semplice esprimere il moto relativo



MOTO TRASCINAMENTO è il moto che P avrebbe se forze non solidale con il sistema di riferimento mobile (moto che ha S_R mobile)

ponendo chiavi su P del S_R mobile, si muove direttamente con xay . P è bloccato con (x_p, y_p) BLOCCATO CON S_R MOBILE

MOTO RELATIVO è il moto di P visto da un osservatore solidale con il S_R mobile

$$= \vec{a}_A + \frac{d\vec{\omega}_t}{dt} \wedge (\vec{x}\hat{i} + \vec{y}\hat{j}) + \vec{\omega}_t \wedge [\vec{\omega}_t \wedge (\vec{x}\hat{i} + \vec{y}\hat{j})] + \vec{\omega}_t \wedge (\vec{x}\hat{i} + \vec{y}\hat{j})$$

T. oltrivo \vec{i}, \vec{j}
con posizioni (19)

$$\vec{a}_p = \vec{a}_{tp} + \vec{a}_{rp} + \vec{a}_{cp}$$

dove

$$\vec{a}_{tp} = \vec{a}_A + \frac{d\vec{\omega}_t}{dt} \wedge \vec{AP} + \vec{\omega}_t \wedge (\vec{\omega}_t \wedge \vec{AP})$$

$$\vec{a}_{rp} = \ddot{x}\hat{i} + \ddot{y}\hat{j}$$

Acc. RELATIVA

$$\vec{a}_{cp} = 2\vec{\omega}_t \wedge \vec{v}_{rp}$$

Acc. CORIOLIS (o
complementare)

ACC. TRASCINA
MEMO
(RWALS)
oppunti
precedenti

⚠ $\vec{a}_{cp} \neq \frac{d\vec{v}_{rp}}{dt}$

NOTA:



$\vec{\omega}_t$ è la velocità di rotazione del sistema (nell'es. non è il rotolo)

MOTI ASSOLUTI

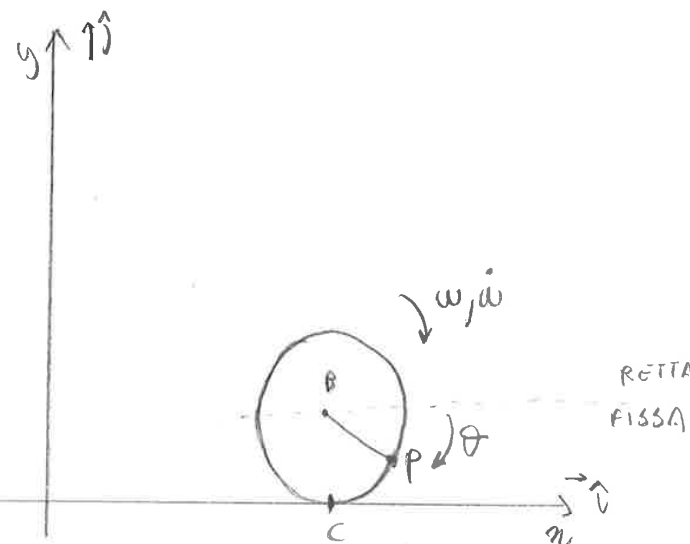
(21)

Fino ad ora i metodi per risolvere gli es.

- 1) F.F. CINEMATICA + RIVALSI
- 2) CIR (dove usione poso)

Ora aggiungiamo

- 3) DERIVAZIONE DELLE RELAZIONI GEOMETRICHE
→ in generale è complicato trovare forme in poche applicazioni come questa,



moto notalmente pur

$$\vec{BP} = r (= \text{const})$$

$$\theta = \omega t \quad \left[\omega = \frac{d\theta}{dt} \right]$$

$$\begin{cases} x_p = x_B + r \cos(\omega t) \\ y_p = r - r \sin(\omega t) \end{cases} \quad \forall t \Rightarrow \text{deriv} \quad \left(\frac{d}{dt} \right) \quad \begin{cases} \dot{x}_p = \dot{x}_B - r \omega \sin \theta \\ \dot{y}_p = -r \omega \cos \theta \end{cases}$$

$$\Rightarrow \text{deriv} \quad \begin{cases} \ddot{x}_p = \ddot{x}_B - r \omega \sin \theta - r \omega^2 \cos \theta \\ \ddot{y}_p = -r \omega \cos \theta + r \omega^2 \sin \theta \end{cases}$$

Considero il moto di C

(C è P con $\theta = 90^\circ$) quando $\omega = \text{cost}$ ($\dot{\omega} = 0$)

→

COLLEGAMENTI TRA CORPI RIGIDI

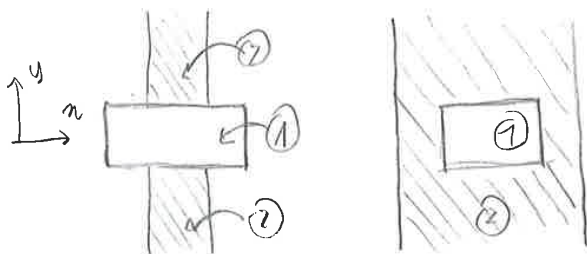
(23)

COPPIE CINEMATICHE

(CINEMATISMI)

motore relativo determinato dalle geometrie delle superfici coinvolte
VINCOLI (elenco)

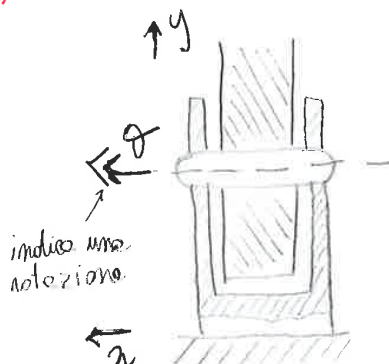
1) COPPIA PRISMATICA (o guida lineare)



GRADI DI LIBERTÀ → 1

- consente traslazione lungo x
- impedisce rotazioni e traslazioni lungo y

2) COPPIA ROTOIDALE (o cerniere) più utilizzate



GRADI DI LIBERTÀ → 1

- lungo x e y sono vietati
- solo rotazione θ

CERNIERA FISSA



CERNIERA MOBILE



Si usano spesso

CUSCINETTI

RADENTI (bronzino)

CUSCINETTI

VOLVENTI (mangan attivo)

→ costituito da materie più tenere, porto
tra loro allora e lo scorrere

3) APPOGGIO SCORREVOLE (carrello)

realizzato con coppie prismatica più coppia rotoidale

GRADI DI LIBERTÀ → 2



- impedisce traslazione ⊥ al piano
- permette rotazione e traslazione // al piano

- Nello SPAZIO un corpo rigido ha 6 GDL
(per esempio le posizioni x_1, y_1, z di un suo punto e 3 rotazioni) (25)
- Nel PIANO un corpo rigido ha 3 GDL

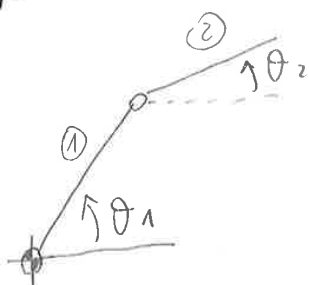
REGOLE SUI GDL

- la CERNIERA (fissa o mobile) taglie 2 GDL
- la GUIDA LINEARE taglie 2 GDL
- il CARRELLO ¹

Per i CINEMATISMI PIANI:

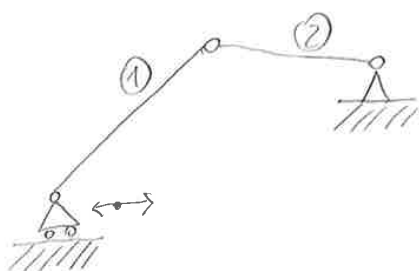
$$N_{GDL} = N_{\text{elementi}} \cdot 3 - N_{\text{cerniere}} \cdot 2 - N_{\text{guide line}} \cdot 2 - N_{\text{carrelli}} \cdot 1$$

esempio



$$N = 2 \cdot 3 - 2 \cdot 2 = 2 \Rightarrow \text{numero zero 2 in genere secolo } \Theta_1 \text{ e } \Theta_2$$

esempio: MANOVELLISMO (sistema biella-manoletta)



$$N = 2 \cdot 3 - 2 \cdot 2 - 1 = 1$$

il GDL lo solego io, il numero
no! ⚠

ANALISI DELLE FORZE

(27)

Si ponono a classificare in base a certe proprietà



2) **POSIZIONE DELLA FORZA RISPETTO AL SISTEMA**

forze ESTERNE

forze INTERNE

(hanno risultante nulla
ma in genere a lavoro non nullo)

3) **LAVORO COMPITO DALLE FORZE**

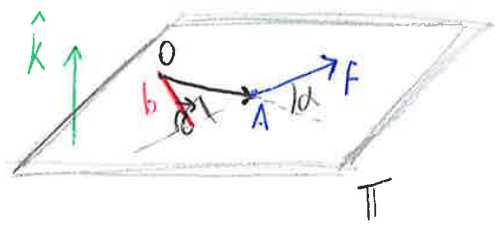
- forze MOTRICI ($\alpha > 0$) (stanno verso del moto)
- forze RESISTENTI (verso opposto, $\alpha < 0$)

4) **APPLICAZIONE DELLA FORZA**

- forze CONCENTRATE
- forze DISTRIBUITE

MOMENTO DI UNA FORZA

(23)



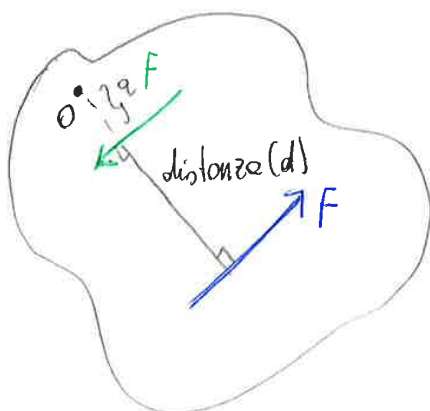
$$\vec{M}_o = \vec{r} \wedge \vec{F} = \overline{OA} \cdot F \cdot \sin \alpha \hat{k}$$

(regole mano dx)

- $\overline{OA} \sin \alpha$ è detto anche BRACCIO DELLA \vec{F}
- Momento \rightarrow associato all'idea di ROTAZIONE
- Vale la proprietà DISTRIBUTIVA, ovvero
 $(\vec{r}_1 + \vec{r}_2) \wedge \vec{F} = \vec{r}_1 \wedge \vec{F} + \vec{r}_2 \wedge \vec{F}$
 $\vec{r} \wedge (\vec{P} + \vec{Q}) = \vec{r} \wedge \vec{P} + \vec{r} \wedge \vec{Q} \rightarrow$ utile quando \vec{P} e \vec{Q} sono le componenti di \vec{F} in un sistema di riferimento cartesiano

COPPIA DI FORZE

è il momento prodotto da una "coppia di \vec{F} " con stesso modulo, verso opposto (devono essere parallele) e non allineate



$$M_O = F(a+d) - Fa = Fd$$

→ il momento prodotto da una coppia di \vec{F} NOM DIPENDE DAL POLO

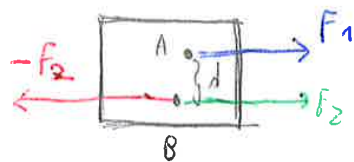
$$\rightarrow \vec{C} = Fd$$

Il vettore coppia \vec{C} è un VETTORE LIBERO (non applicato)

TAUTOLOGIA $(A \Rightarrow B) \Leftrightarrow (\neg B \Rightarrow \neg A)$

31

CONDIZIONE NECESSARIA anche se che il momento risultante è nullo (rispetto a qualsiasi polo)

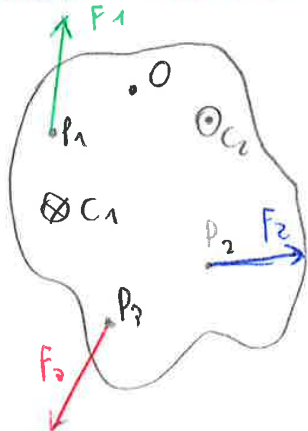


$$M_A = 0$$

$$M_B = F_1 d \neq 0$$

\Rightarrow NON IN EQUILIBRIO (inoltre anche $\vec{w} \neq \vec{0}$)

EQUAZIONI CARDINALI DELLA STATICA



$$\left\{ \begin{array}{l} \vec{R} = \sum_{i=1}^n \vec{F}_i = \vec{0} \\ M_O = \sum_{i=1}^n (\vec{O}P_i \wedge \vec{F}_i) = \vec{0} \end{array} \right. \quad (1)$$

$$\left\{ \begin{array}{l} \vec{R} = \sum_{i=1}^n \vec{F}_i = \vec{0} \\ M_O = \sum_{i=1}^n (\vec{O}P_i \wedge \vec{F}_i) + \sum_{j=1}^N \vec{C}_j = \vec{0} \end{array} \right. \quad (2)$$

il corpo è in equilibrio \Leftrightarrow sono verificate le due eq. vettoriali (1), (2).

NOTA: Rispetto ad un polo QUALSIASI (scelto a piacere)

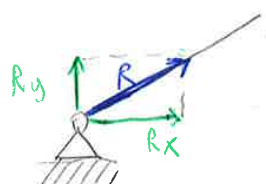
REGOLA PER LA SCELTA DEL POLO

Lo scelgo in modo da eliminare ("annegare") il maggior numero di incognite

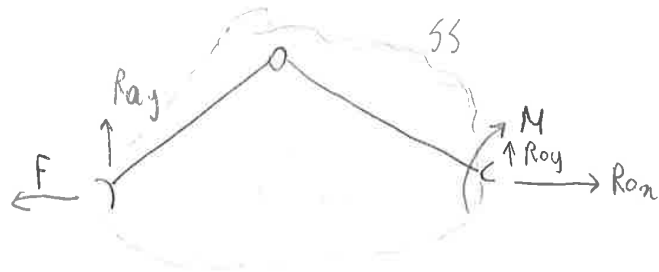
REAZIONI VINCOLARI

Sono le azioni che il vincolo è in grado di esercitare

1) CERNIERA

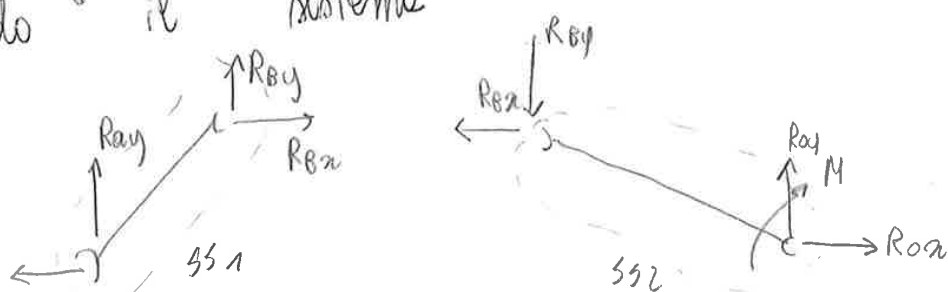


impedisce alle y e lungoRx e Ry



inserisco TUTTE le \vec{F} (33)

- 3) confrontare il numero di incognite con il numero di equazioni disponibili. Se mancano equazioni disegna altri diagrammi di corpo libero a pezzi.
- do il sistema



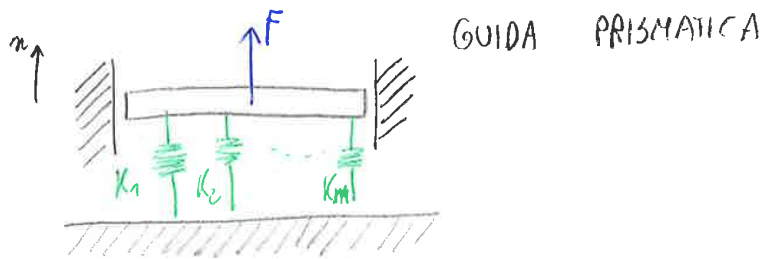
- 4) scrivere le EQ. DI EQUILIBRIO

- 5) risolvere il SISTEMA ALGEBRICO LINEARE (n eq in n incognite). La soluzione è un insieme di forze e momenti.

NOTA: risolvere il sistema prima in forma letterale dimensionale possibilmente effettuando un controllo

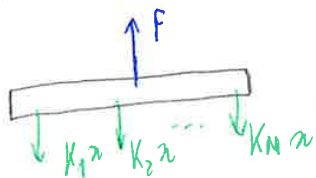
• COMBINAZIONE DI MOLLE

(35)



- * Due molle si dicono in PARALLELO quando hanno lo stesso spostamento (non le stesse \vec{F})

DCL



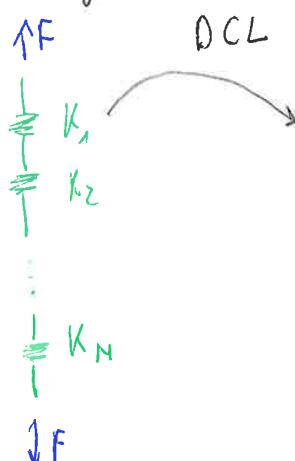
$$\uparrow F - K_1 x - K_2 x - \dots - K_N x = 0$$

$$F = \sum_{i=1}^N K_i x = x \sum_{i=1}^N K_i = x K_{eq}$$

$$K_{eq} = \sum_{i=1}^N K_i$$

RIGIDEZZA EQUIVALENTE

- * Due molle si dicono in SERIE quando hanno la stessa forza



$$F = K_1 \Delta x_1 \rightarrow \Delta x_1 = \frac{F}{K_1}$$

$$\Delta x = \sum_{i=1}^N \Delta x_i$$

$$\Delta x = \sum_{i=1}^M \frac{F}{K_i} = F \sum_{i=1}^M \frac{1}{K_i} = \frac{F}{K_{eq}}$$

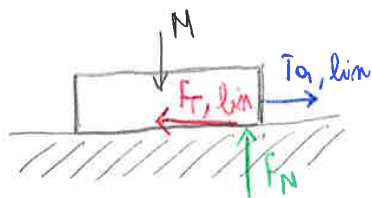
$$\frac{1}{K_{eq}} = \sum_{i=1}^N \frac{1}{K_i}$$

CONEVOLÉZZA EQUIVALENTE

c) aumentiamo
⇒ diamo in

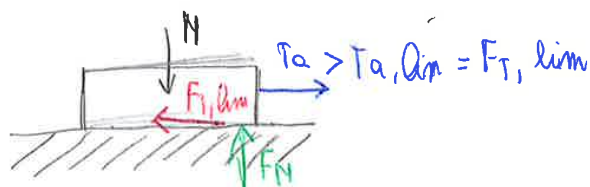
condizioni di aderenza limite

(37)



F_N avere più spostato rispetto al punto b

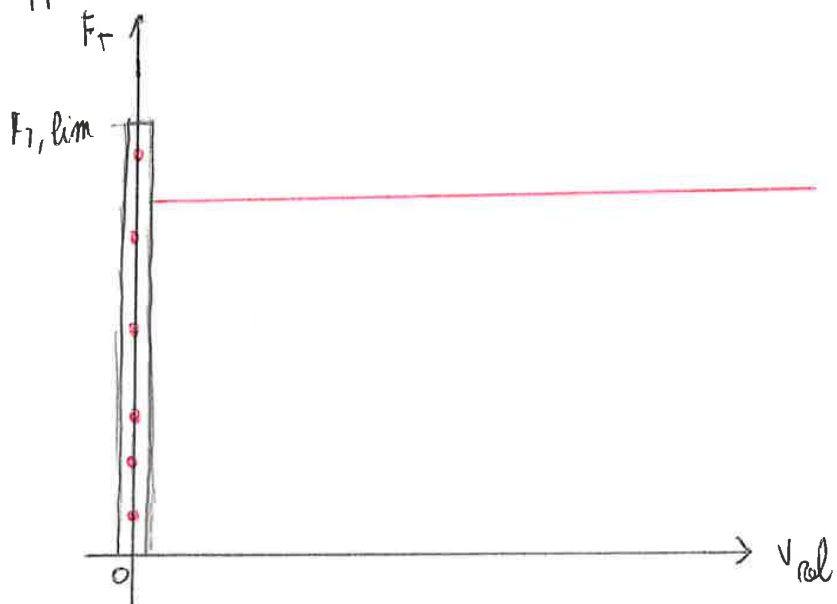
d) se superiamo T_a, lim → si innesta il moto



nasce uno squilibrio di forze che determina il moto

Si osserva che per mantenere il moto a velocità costante è necessaria una forza minore di T_a, lim (una volta superato !)

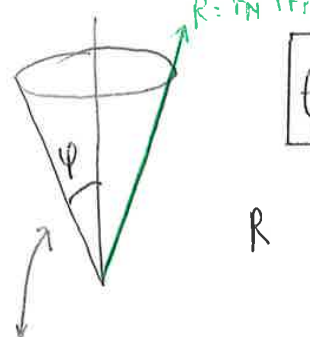
Rappresentiamo modello di attrito Coulombiano



COME DI ATTRITO

(39)

In condizioni di ATTRITO



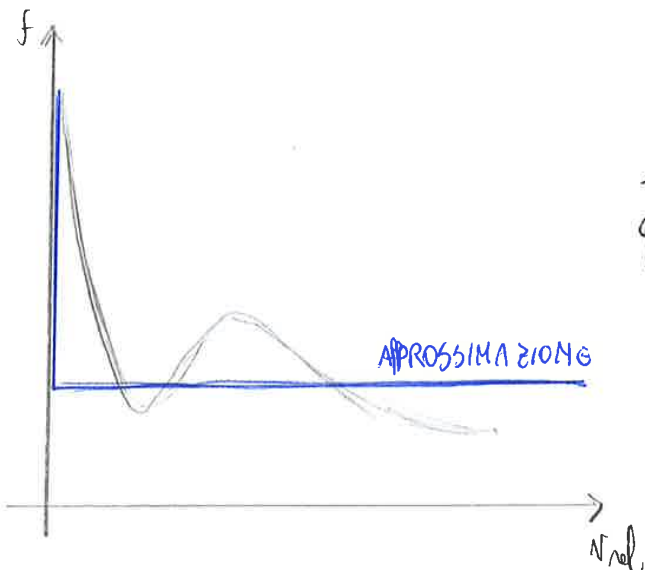
$$f_g \tan \phi = f$$

R si deve trovare nel caso di attrito



Si osserva spesso almeno che $f < f_a$
 $(\phi < \phi_a) \rightarrow f < f_a$

f dipende da molteplici fattori, specialmente stalle
 coppie di materiali a contatto)
 debolmente anche dalla velocità



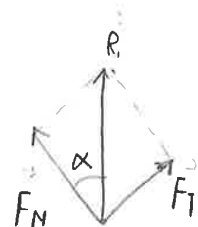
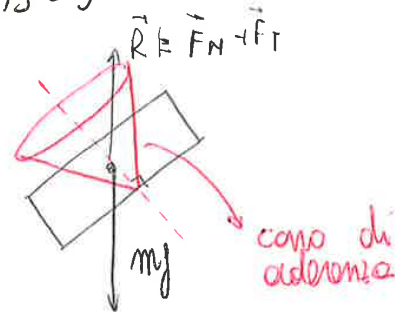
le si approssime con
 quello blu

• se $\beta = 0$

$$f_{a,\min} = \frac{|\Delta - mg| \sin \alpha}{mg \cos \alpha}$$

41

• se $\Delta = 0$



R intorno al cono di aderenza

$$\frac{F_T}{F_N} = \tan \alpha \leq \tan \varphi_a = f_a \quad \text{aderenza}$$

$$\alpha \leq \varphi_a$$

oss. F_T contrasta le cause motrici ($mg \sin \alpha$)
e infatti ha cambiato verso

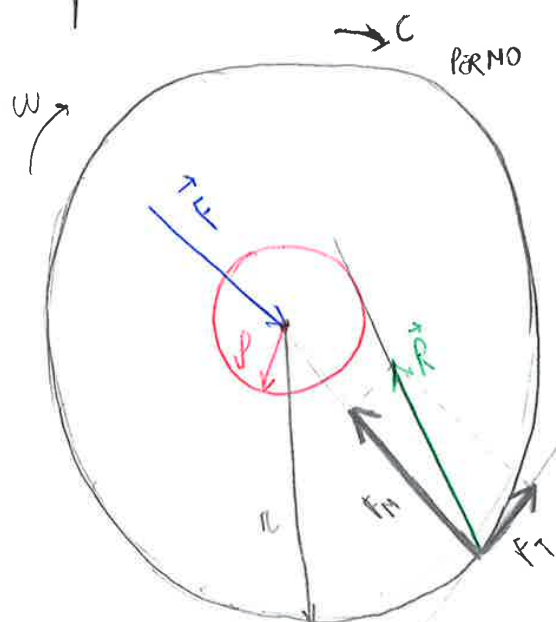
$$f = r \sin \varphi$$

è detta

RAGGIO NEL
CERCATO D'APPORNO

43

Questo discorso lo si può estendere a qualsiasi
 \vec{F} con qualsiasi direzione



$$C = F_p = F_r r$$

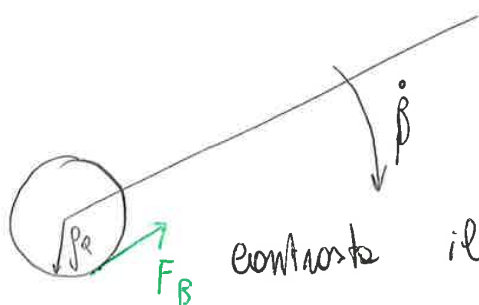
R è tangente al cerchio
di attrito

Non è necessario disegnare il dettaglio di perno
e bisceca, ma

- 1) si disegna il cerchio di attrito $\rightarrow f_p = r_p \sin(\varphi_p)$
- 2) si determina il verso del moto relativo
(verso di ω)
- 3) si disegna la forza di reazione tangente al cerchio in modo che si oppone al moto

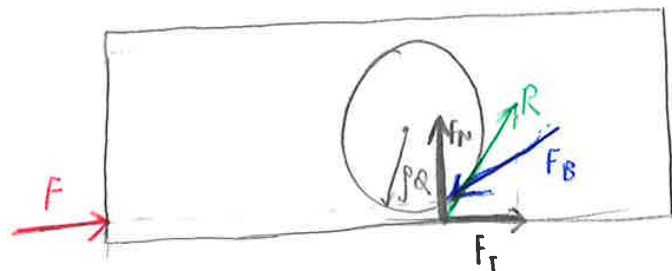
ATTRITO AL PERNÒ

(45)



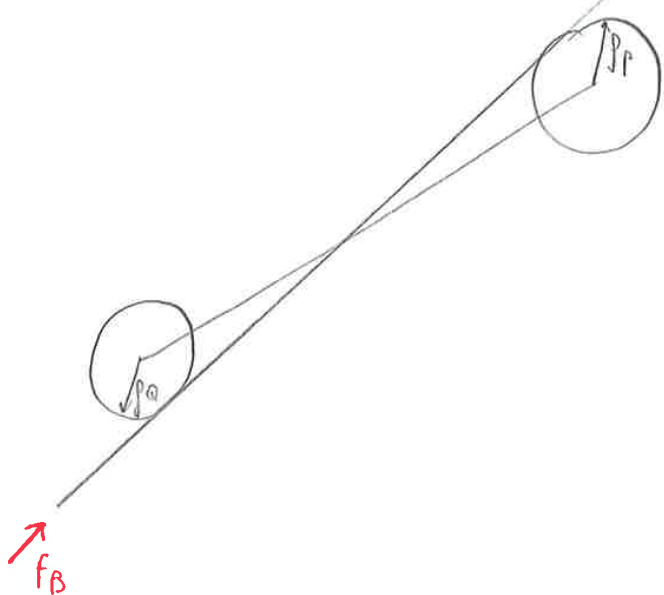
contesta il moto, non le si può mettere oppone perché agevolerebbe il moto (era una coppia concorde a β , invece le deve essere opposta)

DCL PIEDE DI BIELLA



le forze devono passare tutte per lo stesso punto

DCL BIELLA CON ATTRITO



applicate allo fiello e si oppone al moto dello fiello

ATTRITO E ADERENZA NEI CORPI ROTOLANTI

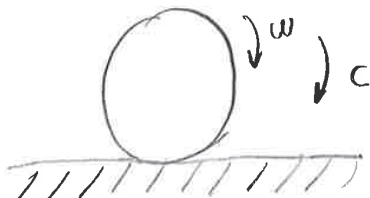
(L7)

velocità costante

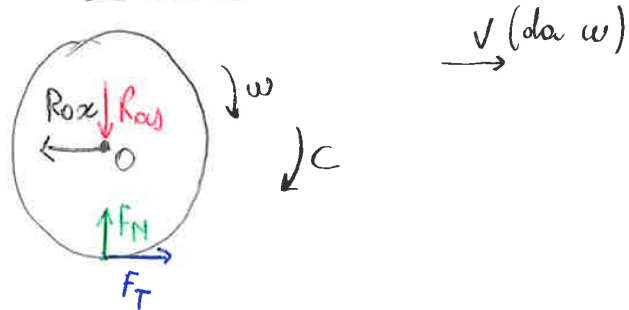
Alcune situazioni tipiche:

1) RUOTA MOTRICE

è una ruota a cui si applica una coppia motrice



OCL ADERENZA

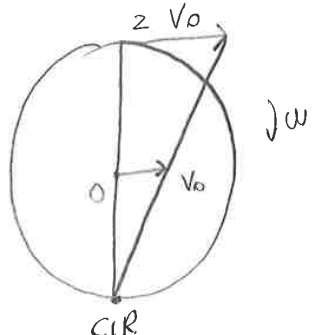


F_T è l'unica forza in grado di "opporci" a C

$$C = F_T \cdot R$$

⚠️ F_T ha lo stesso verso di v

$\frac{F_T}{F_N} \leq f_a$ siamo in aderenza: il pt. di contatto
è il CIR

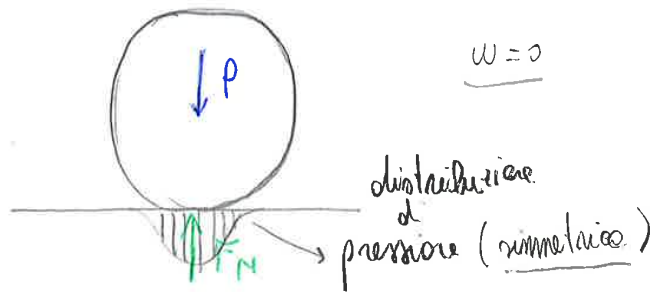


$$V_0 = \omega R$$

$$V_{rel} = 0$$

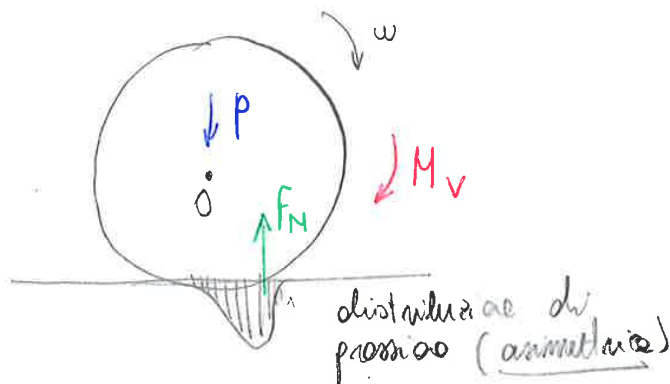
RESISTENZA AL ROTOLAMENTO : attrito volvente

(U)



Si osserva spesso un moto al limite che per avere $w \neq 0$ bisogna immettere delle resistenze al rotolamento: $M > M_v = \mu F_N$

PARAMETRO DI ATTRITO VOLVENTE (aumento all' aumentare del raggio)
DCL



F_N spostata in avanti
(rispetto alla generatrice
ideale di contatto) nel
verso del moto

\vec{F}_N è una RESISTENZA!

\vec{F}_N produce un momento rispetto a che ostacola
il moto (w)

In alternativa si definisce il COEFFICIENTE
DI ATTRITO VOLVENTE

$$f_v = \frac{\mu}{r}$$

dove r = raggio della ruota
(diminuisce all'aumentare del
raggio)

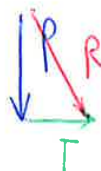
$$0 \nabla F_N \mu - F_T R = 0$$

(51)

$$\frac{F_T}{F_N} = \frac{\mu}{R} \stackrel{\text{def}}{=} f_v \leq f_a$$

- z) RUOTA TRASCIATA
 ATTRITO COULOMBIANO
 ATTRITO VOLVENTE
 ATTRITO AL PERNOD

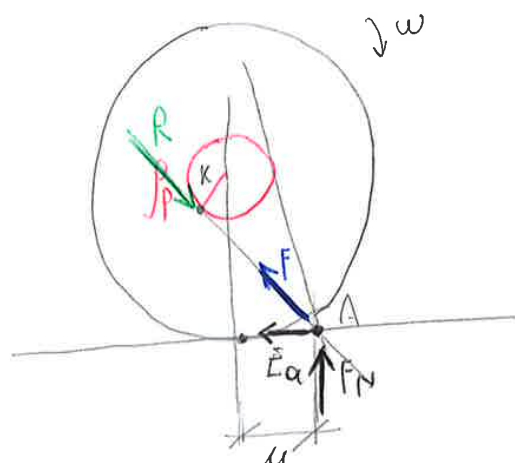
$\vec{P} + \vec{T}$ dove essere tangente al cerchio di attrito
 (non è necessario disegnare perno e loecole)



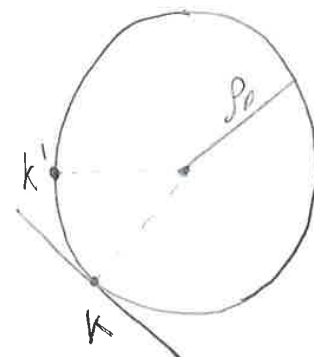
- perno
dei
cerchi di
attrito
- disegno il cerchio
 - determino i versi
 - disegno \vec{R} tangente in modo che si opponga al lato

$$f_p \Rightarrow \varphi_p = \arctg(f_p)$$

$$P_p = R_p \sin(\varphi_p) \quad (\text{con } z/3 \text{ c.s.})$$

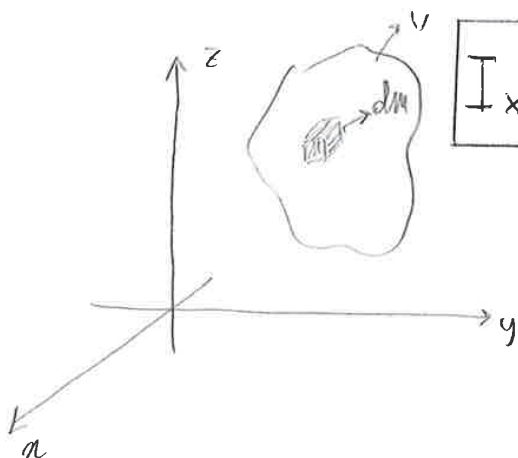


zoom di f_p



$P_p \ll R$ (almeno un ordine di grandezza)
 $\Rightarrow K' \approx K$

MOMENTI DI INERZIA (come la massa è distribuita al intorno del centro di massa) (53)



$$I_{xx} = \int_V (y^2 + z^2) \rho dV$$

$$I_{yy} = \int_V (x^2 + z^2) \rho dV$$

$$I_{zz} = \int_V (x^2 + y^2) \rho dV$$

servono per studiare le rotazioni sempre positivi

MOMENTI CENTRI FUGHI (prodotti d'inerzia)

$$I_{xy} = \int_V xy \rho dV = I_{yx}$$

$$I_{yz} = \int_V yz \rho dV = I_{zy}$$

$$I_{zx} = \int_V zx \rho dV = I_{xz}$$

possono essere positivi o negativi

NOTA se $I_{xy} = 0 \Rightarrow$ assi n° 0 assi $y = 0$
entrambi assi assi di simmetria

Se $I_{xy} = I_{yz} = I_{zx} = 0$ lo stesso di riferimento si dice PRINCIPALE (di INERZIA)

In modo equivalente si può assegnare il RAGGIO DI INERZIA r

$$I = m r^2 \rightarrow r_{in} = \sqrt{\frac{I_{in}}{m}}$$

Il raggio di inerzia è la distanza a cui daremmo calcolare il corpo (puntiforme) per avere lo stesso momento di inerzia

APPROCCIO ALLA D' ALEMBERT

(55)

$$\vec{F} = m\vec{a}$$

$$\vec{F} - m\vec{a} = \vec{0}$$

$$\vec{F} \stackrel{\text{def.}}{=} -m\vec{a}_G$$

FORZA DI INERZIA

$$M'_G = -I_G \frac{d\vec{a}}{dt}$$

COPPIA DI INERZIA
BARICENTRICA

Possò trattare un problema di dinamica come se pose un problema di statica usando \vec{F}' e M'_G

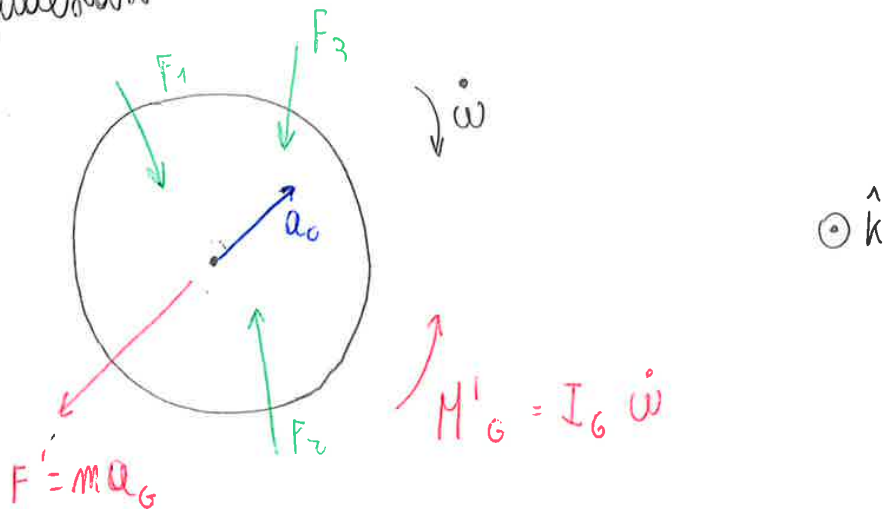
NOTA: le \vec{F}' (forze di inerzia) sono forze che non agiscono quando un corpo si muove con velocità costanti (uniformi)

EQUAZIONI CARDINALI DELLA DINAMICA

(57)

$$\begin{aligned} \sum \vec{F}_e + \vec{F}' &= \vec{0} & (1) \\ \sum \vec{M}_e + \vec{M}' &= \vec{0} & (2) \end{aligned}$$

Nel piano le (2) vale rispetto ad un polo qualiasi



al moto del corpo

applicare \vec{F}' nel bivento in verso opposto al bivento e M'_G (sempre opposto a (ii))

Better fare operazione RIDUZIONE DELLE AZIOMI DI INERZIA.

Questo schema va trattato come se fosse un CASO STATICO

$$\vec{M}'_P = I_G \dot{\omega} \hat{k} + \vec{P}_G \wedge \vec{F}'$$

momento risultante delle forze di inerzia rispetto a P

$\vec{P}_G \wedge \vec{F}'$ momento DELLA risultante delle forze di inerzia

(59)

di inerzia al momento
2) la maggior parte degli studenti lo applica
improprioamente

IMPULSO LINEARE & QUANTITÀ DI MOTO

$$\sum \vec{F}_e = m\vec{a} = \frac{d}{dt} [m\vec{v}]$$

$$\vec{Q} \stackrel{\text{def}}{=} m\vec{v}$$

quantità di
moto

$$\sum \vec{F}_e = \frac{d\vec{Q}}{dt}$$

Nel piano

$$\left\{ \begin{array}{l} \sum F_{ex} = \frac{dQ_x}{dt} \\ \sum F_{ey} = \frac{dQ_y}{dt} \end{array} \right.$$

Per un sistema di particelle

$$\vec{Q} = m_{tot} \vec{v}_G$$

$$\int_{t_1}^{t_2} \sum \vec{F}_e dt = \int_{t_1}^{t_2} \frac{d\vec{Q}}{dt} dt = \vec{Q}_2 - \vec{Q}_1$$

teorema dell'impulso (lineare)

nelle \vec{F}_e NON metto le \vec{F}^i (inerzia.)

è approccio alternativo al DCL

$$\vec{M}_A = \frac{d\vec{k}_A}{dt} + \vec{V}_A \wedge \vec{Q} \quad (= \sum \vec{M}_e)$$

(61)

Per l'approssimazione di D'Alembert

$$\vec{M}_A - \frac{d\vec{k}_A}{dt} - \vec{V}_A \wedge \vec{Q} = \vec{0}$$

$$\vec{M}_A + \vec{M}'_A = \vec{0}$$

definisce $\vec{M}'_A = - \frac{d\vec{k}_A}{dt} - \vec{V}_A \wedge \vec{Q}$

Si semplifica quando

- $A \equiv 0$ (punto fermo)

$$\vec{M}'_0 = - \frac{d\vec{k}_0}{dt} \rightarrow \vec{V}_0 = \vec{0}$$

- $A \equiv G$ (monumento)

$$\vec{V}_G \wedge \vec{Q} = \vec{V}_G \wedge M \vec{V}_G = \vec{0}$$

$$\vec{M}'_G = - \frac{d\vec{k}_G}{dt}$$

$$\vec{M}'_{0/G} = - \frac{d\vec{k}_{0/G}}{dt}$$

Generalmente nello spazio si sceglie il fisso oppure
G (monumento)

$$\int_{t_1}^{t_2} \sum \vec{F}_e dt = \vec{0} \Rightarrow \vec{Q} = \text{cost}$$
(63)

teorema di conservazione delle quantità di moto

$$\int_{t_1}^{t_2} \sum \vec{M}_{e_0} dt = \vec{0} \Rightarrow \vec{K} = \text{cost}$$

teorema di conservazione del momento delle quantità di moto.

TERNA CENTRALE DI INERZIA (TCI)

PRINCIPALE : $I_{xy} = I_{xz} = I_{yz} = 0$ mom. cent ~~rispetto~~

BARICENTRICA : I calcolato con riferimento terna centrale
centrale in G

CENTRALE DI INERZIA baricentrica + principale

(*) indicate le tre versori $\hat{x}, \hat{y}, \hat{z}$
che vanno cercati (risolvere problemi
di autovetori)

$$\vec{K}_G = I_x \omega_x \hat{x} + I_y \omega_y \hat{y} + I_z \omega_z \hat{z}$$

dove $\omega_x = \vec{\omega} \cdot \hat{x} = P$ $\left\{ \begin{array}{l} \text{prodotti scalari} \\ \text{scalari} \end{array} \right.$

$\omega_y = \vec{\omega} \cdot \hat{y} = Q$

$\omega_z = \vec{\omega} \cdot \hat{z} = R$

$$\omega_x = \vec{\omega}_{\text{TOT}} \cdot \hat{i} = \vec{\omega}_{\text{TOT}} \cdot \hat{j}_1 = (\omega \hat{i}_1 + \mathcal{R} \hat{i}) \cdot \hat{j}_1 = -\mathcal{R} \sin \alpha (r) \quad (65)$$

$$\omega_y = \vec{\omega}_{\text{TOT}} \cdot \hat{u} = \vec{\omega}_{\text{TOT}} \cdot \hat{k}_1 = (\omega \hat{i}_1 + \mathcal{R} \hat{i}) \cdot \hat{k}_1 = 0 \quad (\alpha)$$

$$\omega_z = \vec{\omega}_{\text{TOT}} \cdot \hat{v} = \vec{\omega}_{\text{TOT}} \cdot \hat{i}_1 = (\omega \hat{i}_1 + \mathcal{R} \hat{i}) \cdot \hat{i}_1 = \omega + \mathcal{R} \cos \alpha \quad (R)$$

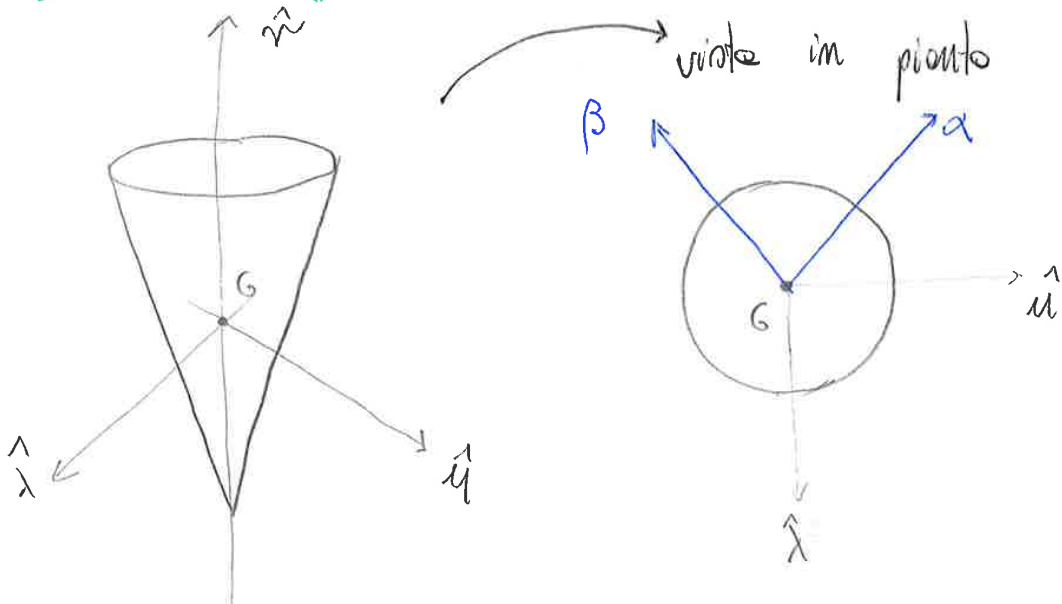
$$\vec{K}_G = I_y (\omega + \mathcal{R} \cos \alpha) \hat{i}_1 - I_x \mathcal{R} \sin \alpha \hat{j}_1$$

$\omega, \mathcal{R}, \alpha$ cost

$I_x = \text{cost}$

\hat{i}_1 e \hat{j}_1 mutano alle velocità \mathcal{R}

SOLIDO GYROSCOPICO



$$I_x = I_y = I_\alpha = I_\beta$$

$$\frac{d\hat{i}_1}{dt} = \vec{\omega} \wedge \hat{i}_1 \quad (\text{per Poisson})$$

$$\frac{d\hat{j}_1}{dt} = \vec{\omega} \wedge \hat{j}_1 \quad (\text{per Poisson})$$

APPLICAZIONI

FENOMENI

GIROSCOPICI

AEROSPACE

(67)

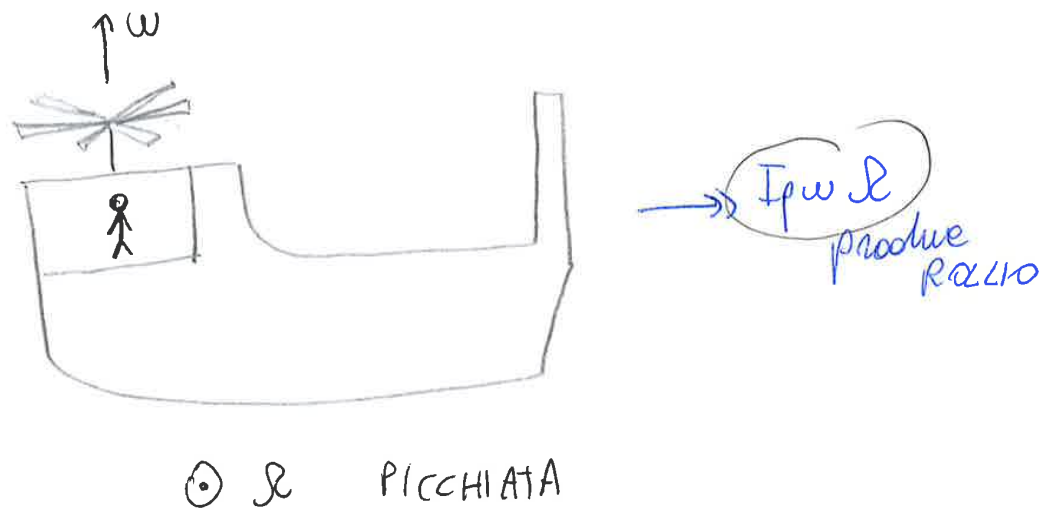
esempio: ELICA MULTIPALA AEREO

n° pale > 3



esempio: ROTORE PRINCIPALE ELICOTTERO

n° pale > 3



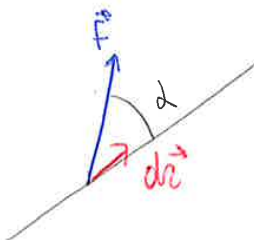
LAVORO ED ENERGIA

(69)

Esistono metodi ENERGETICI (al posto di quelli vettoriali)

LAVORO INFINITESIMO

$$dL = \vec{F} \cdot d\vec{r} = F \cos \alpha \, dr$$

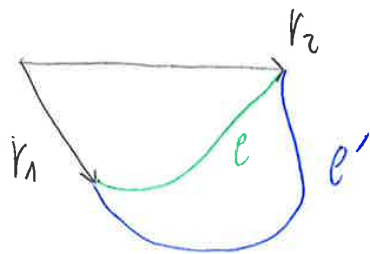


Nel caso di uno coppia $dL = C d\theta$

LAVORO

$$L = \int dL \quad [J]$$

Se il lavoro dipende solo dalla posizione iniziale e finale la forza si dice conservativa



$$\int_{r_1}^{r_2} \vec{F}_{\text{cons}} \cdot d\vec{r} = \int_{r_1}^{r_2} \vec{F}_{\text{cons}} \cdot d\vec{r}$$

$$\oint \vec{F}_{\text{cons}} \cdot d\vec{r} = 0$$

In questo caso si definisce ENERGIA POTENZIALE

$$U_{1,2} = \int_{r_1}^{r_2} \vec{F}_{\text{cons}} \cdot d\vec{r} = U_1 - U_2 = -\Delta U$$

POTENZA

$$W = \frac{dL}{dt} \quad [W] = \frac{J}{s}$$

$$\frac{C d\theta}{dt} = C\omega$$

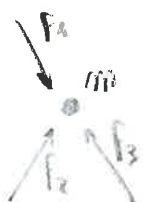
COPPIA

$$\frac{F dr}{dt} = Fv$$

FORZA

prodotto de ...

LAVORO RISULTANTE - ENERGIA CINETICA



sappiamo

$$\sum \vec{F}_e = m \frac{d\vec{v}}{dt} \quad \forall t$$

$$\begin{aligned} \int_1^2 \sum \vec{F}_e \cdot d\vec{r} &= \int_1^2 m \frac{d\vec{v}}{dt} \cdot d\vec{r} = \int_1^2 m \vec{v} \cdot d\vec{v} = \int_1^2 d\left(\frac{1}{2} m \vec{v} \cdot \vec{v}\right) = \\ &= \frac{1}{2} m v_2^2 - \frac{1}{2} m v_1^2 = \Delta E_c \end{aligned}$$

$$E_c = \frac{1}{2} m v^2 \quad (=1)$$

$$\int_1^2 \sum \vec{F}_e \cdot d\vec{r} = \Delta E_c \quad \begin{array}{l} \text{teorema dell'energia cinetica} \\ (\text{o delle } \vec{F} \text{ vive}) \end{array}$$

Per un corpo rigido nello spazio

$$E_c = \frac{1}{2} m v_0^2 + \left[\frac{1}{2} I_x w_x^2 + \frac{1}{2} I_y w_y^2 + \frac{1}{2} I_z w_z^2 \right]$$

- se assegno m con asta omogenea di lunghezza l

$$I_G = \frac{1}{12} m L^2$$

- momento polare di un disco omogeneo

$$I_p = \frac{1}{2} m R^2$$

- momento diametrale di un disco sottili

$$I_d = \frac{1}{4} m R^2$$

EQUAZIONE DELL' ENERGIA

Per un sistema meccanico vale la seguente equazione

$$d\mathcal{L}_e + d\mathcal{L}_i = dE_c + dE_g + dE_d$$

oppure in termini finiti

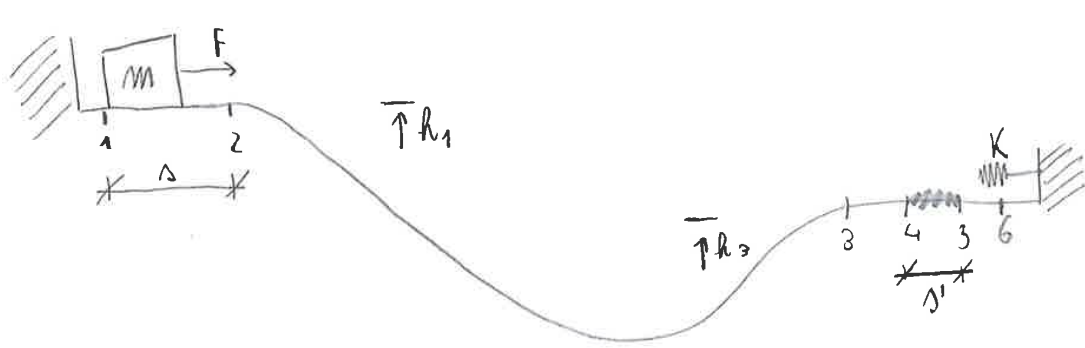
$$\mathcal{L}_e + \mathcal{L}_i = \Delta E_c + \Delta E_g + \Delta E_d$$

\mathcal{L}_e = LAVORO COMPIUTO DALLE FORZE ESTERNE RISPETTO AL SISTEMA DI INTERESSE (escluso le forze per e le forze di inerzia)

\mathcal{L}_i = LAVORO DELLE FORZE INTERNE AL SISTEMA (attriti, azioni elettromagnetiche)

Le i vinci i intorni sono privi di attrito
 $\Rightarrow \mathcal{L}_i = 0$

Esempio:



(75)

Dati: m , $V_1 = 0$, F cost che agisce solo tra 1 e 2 (tratto s), h_1, h_2 , f attrito solo tra 4 e 5 (tratto s'), k

Determinare: Δn

de 1 a 2

$$\cancel{\frac{dE + \cancel{dE_i}}{dE + \cancel{dE_i}}} = \Delta E_c + \cancel{\Delta E_g} + \cancel{\Delta E_{el}}$$

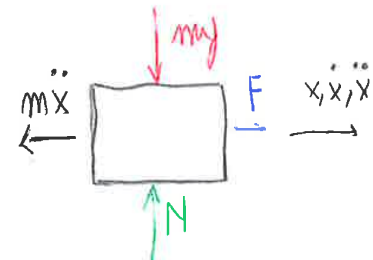
stessa quota nessuna molla

$$dE = \Delta E_c$$

$$dE = F \cdot s$$

$$\Delta E_c = \frac{1}{2} m V_2^2 - \frac{1}{2} m V_1^2$$

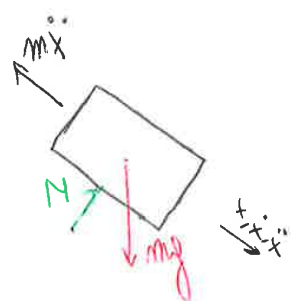
$$\left. \begin{array}{l} dE = \Delta E_c \\ dE = F \cdot s \\ \Delta E_c = \frac{1}{2} m V_2^2 - \frac{1}{2} m V_1^2 \end{array} \right\} \rightarrow F \cdot s = \frac{1}{2} m V_2^2 \Rightarrow V_2 > 0$$



de 2 a 3

$$\cancel{\frac{dE + \cancel{dE_i}}{dE + \cancel{dE_i}}} = \Delta E_c + \Delta E_g + \cancel{\Delta E_{el}}$$

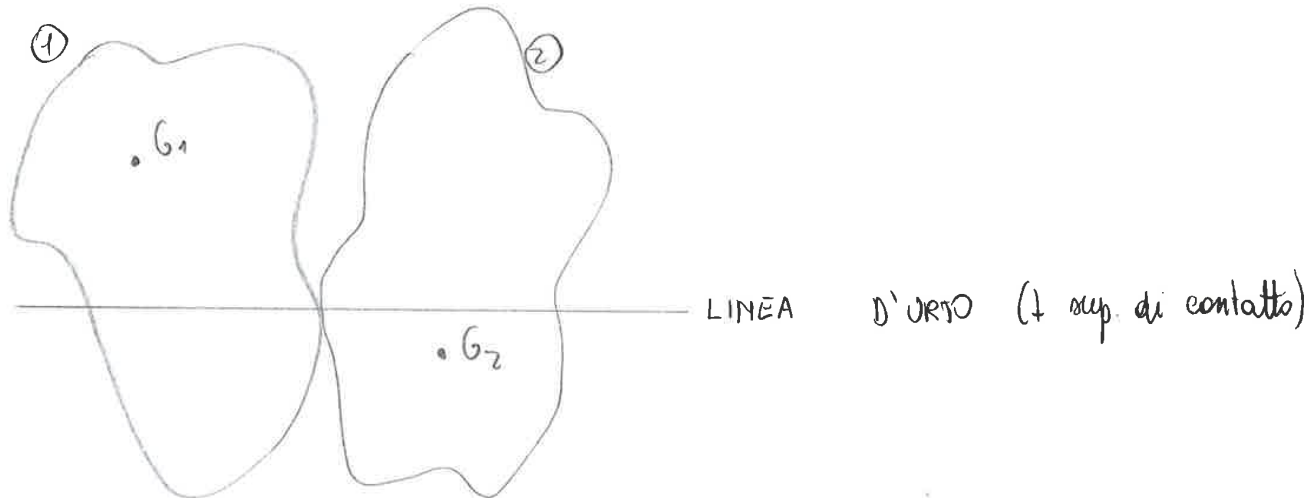
$$\frac{1}{2} m V_3^2 - \frac{1}{2} m V_2^2 + mg(h_3 - h_1) = 0 \Rightarrow V_3 > V_2$$



URTO

(77)

Fenomeno che coinvolge due corpi aventi inizialmente velocità differente e che vengono a contatto per un tempo molto breve; si ha una variazione molto rapida delle velocità.



URTO CENTRALE linea d'urto parallela per i due banchetti, altrimenti si ha un urto eccentrico



(79)

URTO CENTRALE DIRETTO

$$\ell = - \frac{\Delta V^+}{\Delta V^-} = - \frac{V_A^+ - V_B^+}{V_A^- - V_B^-}$$

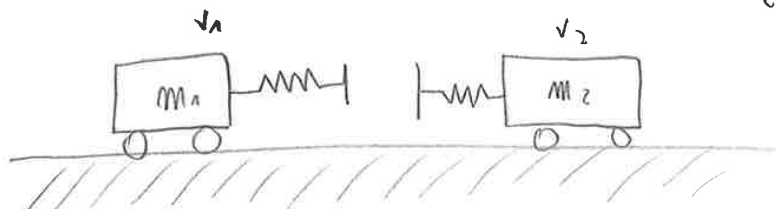
COEFFICIENTE DI RESTITUZIONE

$\ell = 1 \rightarrow$ urto ELASTICO ($\Delta E_c = 0$)

$\ell = 0 \rightarrow$ urto ANALASTICO ($\Delta E_c < 0$)

esempio CARRELLI FERROVIARI

$(V_2^- < V_1^-)$



- urto elastico ($\ell = 1$)

$$Q^+ = Q^- \quad m_1 V_1^+ + m_2 V_2^+ = m_1 V_1^- + m_2 V_2^-$$

$$\ell = - \frac{V_1^+ - V_2^+}{V_1^- - V_2^-} = 1$$

equivalente a $\frac{1}{2} m_1 (V_1^+)^2 + \frac{1}{2} m_2 (V_2^+)^2 = \frac{1}{2} m_1 (V_1^-)^2 + \frac{1}{2} m_2 (V_2^-)^2$

- urto analastico ($\ell = 0$)

$$Q^+ = Q^-$$

$$\ell = - \frac{V_1^+ - V_2^+}{V_1^- - V_2^-} = 0 \quad \rightarrow V_1^+ = V_2^+ = V^+$$

$$m_1 V_1^- + m_2 V_2^- = (m_1 + m_2) V^+ \quad \rightarrow V^+ = \frac{m_1 V_1^- + m_2 V_2^-}{m_1 + m_2}$$

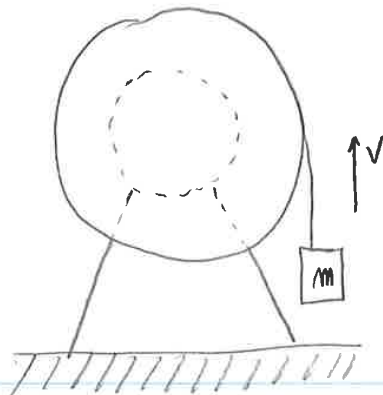
$$\Delta E_c = \frac{1}{2} (m_1 + m_2) (V^+)^2 - \frac{1}{2} m_1 (V_1^-)^2 - \frac{1}{2} m_2 (V_2^-)^2$$

esempio

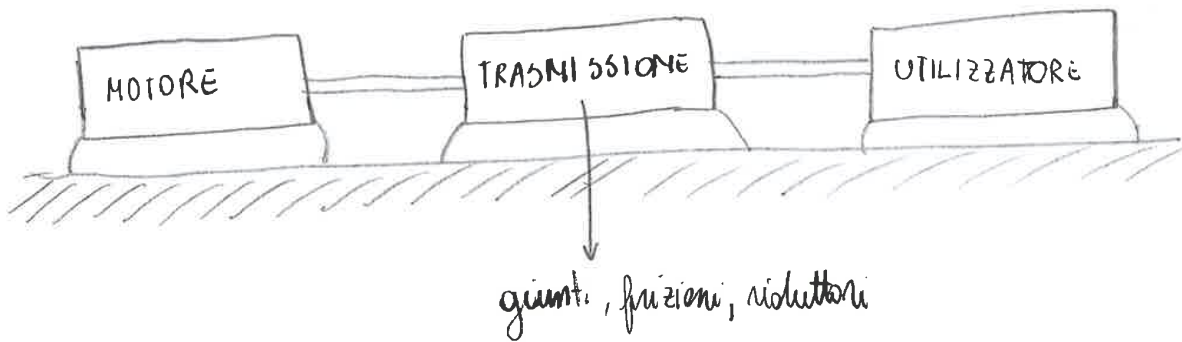
ARGAMO

(81)

sollevamento

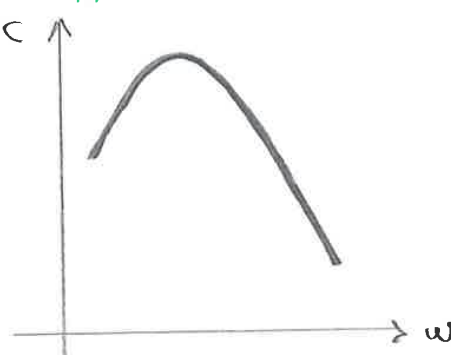


TRASMISSIONE



CARATTERISTICA

coppie
(coppie
motori
in
(F, v)

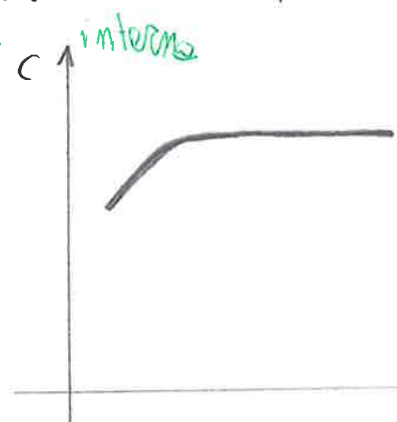


MECCANICA

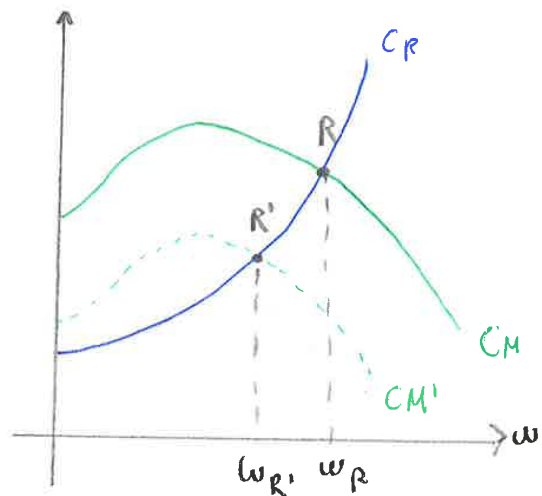
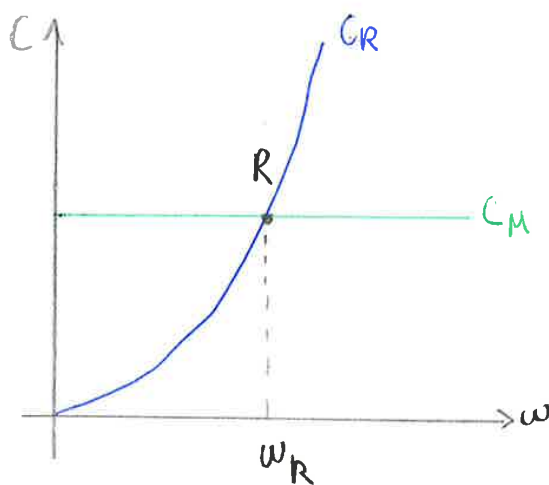
funtione
per i motori
di combustione

MOTORE

della
velocità
lineare)



di notazione

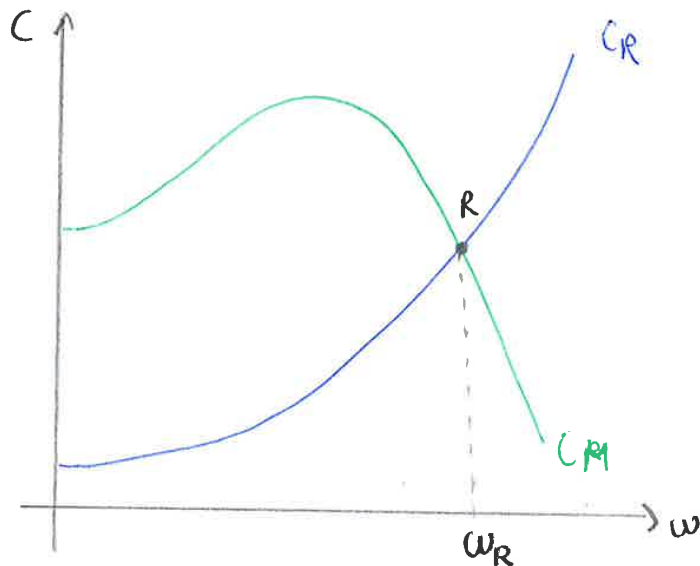


posso variare le coppie motriee (C_M)

$$W = C_M \cdot \omega_R$$

$$W' = C_M' \omega_R' < W$$

PUNTI DI FUNZIONAMENTO STABILI



è STABILE, ovvero dopo una perturbazione ritorno a ω_R

$$\text{se } \omega > \omega_R \rightarrow C_R > C_M \quad C_M - C_R = I \ddot{\omega}$$

$$\ddot{\omega} = \frac{C_M - C_R}{I} < 0 \Rightarrow \omega \text{ diminuisce e ritorno a } \omega_R$$

85

definizione RAPPORTO DI TRASMISSIONE

$$\tau = \frac{\omega_{\text{OUT}}}{\omega_{\text{IN}}} = \frac{\omega_2}{\omega_1}$$

\angle_1 (RIDUTTORE)

a volte si usa anche

$$\iota = \frac{\omega_{\text{IN}}}{\omega_{\text{OUT}}}$$

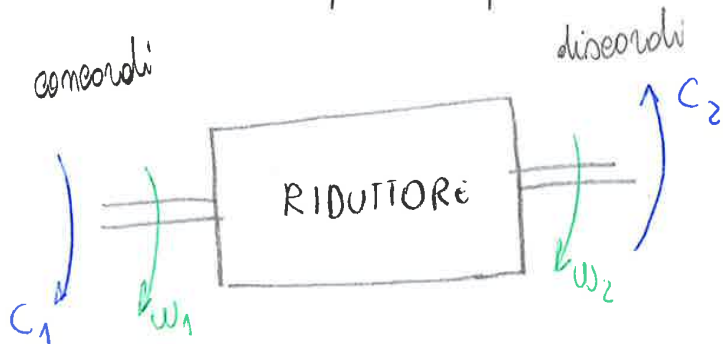
detto anche RAPPORTO DI TRASMISSIONE

da $C_1 \omega_1 = C_2 \omega_2$

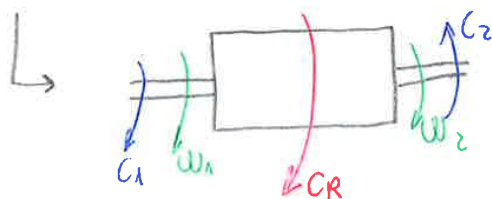
$$C_2 = \frac{C_1 \omega_1}{\omega_2} = \frac{C_1}{\tau} > C_1$$

è richiesto uno coppia motrice minore rispetto all'accoppiamento diretto

\Rightarrow motori più piccoli, meno pesanti, meno costosi concordi



DCL

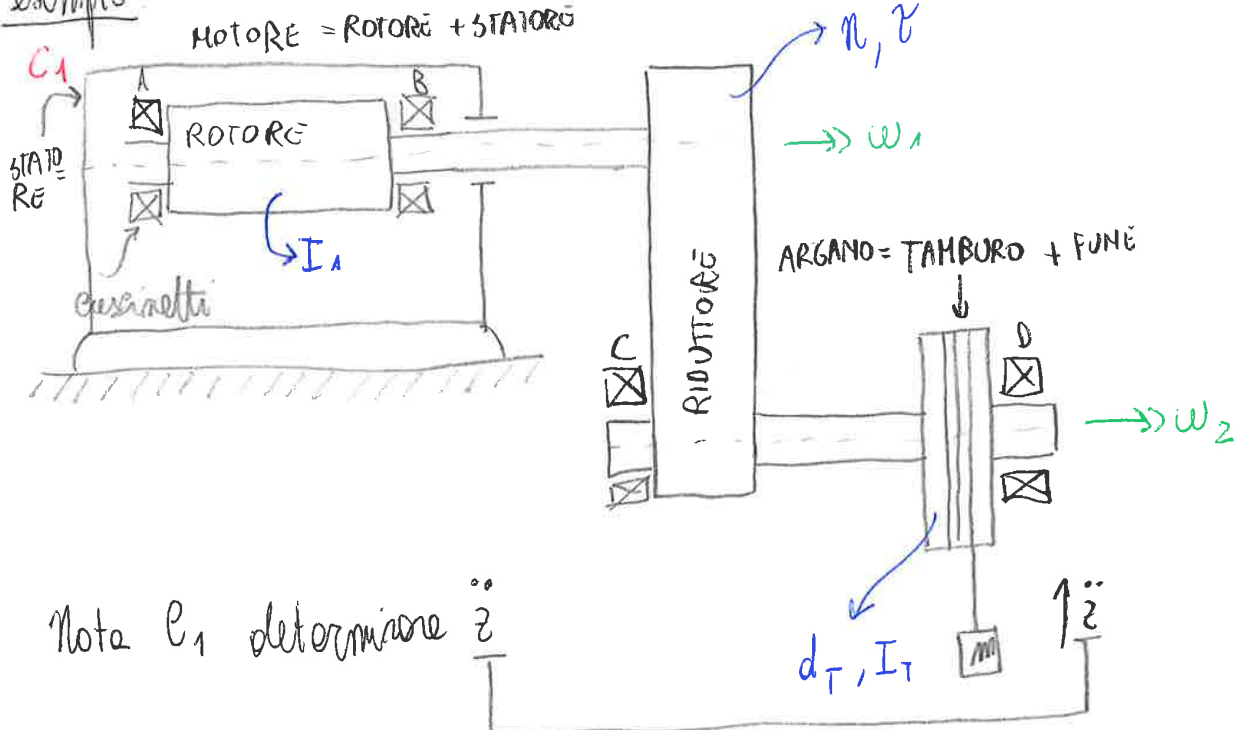


$$C_R + C_1 = C_2$$

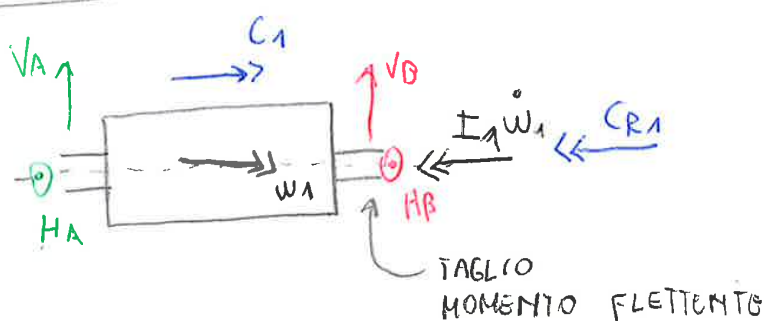
PERCORSO DI CARICO

(87)

È una successione di diagrammi di corpi liberi
in una trasmissione meccanica

ESEMPIO:

• DCL rotore



$$\rightarrow C_1 - I_1 \dot{w}_1 - C_{R1} = 0 \quad (1)$$

→ Prendo le eq. e sottolineo incognite ogni volta che le trovo (88)

$$(1) \underline{C_1} - I_1 \dot{\underline{\omega}}_1 - \underline{C_{R1}} = 0$$

$$(2) \underline{C_{R2}} = \frac{C_{R1} n}{\tau}$$

$$(3) \underline{C_{R2}} - I_T \dot{\underline{\omega}}_2 - mg \frac{d\underline{z}}{2} - m \ddot{\underline{z}} - \frac{m \ddot{d}_T}{2} = 0$$

5 incognite, 3 eq \Rightarrow mi servono 2 eq

$$\dot{\underline{z}} = \frac{d_T}{2} \dot{\underline{\omega}}_2 \quad (5)$$

da PUMÉ INESTENSIBILITÀ
SENZA STRISCIARE

$$\tau = \frac{\omega_2}{\omega_1} = \text{cost} \rightarrow$$

$$\tau = \frac{\dot{\omega}_2}{\dot{\omega}_1} \quad (4)$$

$$\left| \begin{array}{l} \omega_2 = \tau \omega_1 \\ \frac{d\omega_2}{dt} = \frac{d}{dt}(\tau \omega_1) \\ \dot{\omega}_2 = \tau \dot{\omega}_1 \end{array} \right.$$

Due approcci

1) RIDUZIONE ALL' UTILIZZATORE ($\dot{\omega}_2$)

dalle (1) $C_{R1} = C_1 - I_1 \frac{\dot{\omega}_2}{\tau}$

nelle (2) $C_{R2} = \frac{n}{\tau} \left(C_1 - I_1 \frac{\dot{\omega}_2}{\tau} \right)$

nelle (3) con (4) e (5) otengo \rightarrow

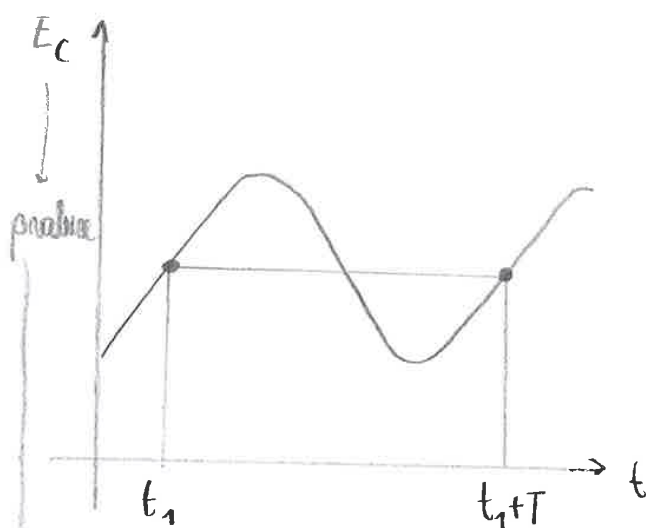
La REGOLA è al contrario per le riduzioni all'utilezzatore

(91)

SISTEMI A REGIME PERIODICO

C_M e/o C_R sono periodiche

$\Rightarrow E_C$ è periodica



$$E_C(t_1) = E_C(t_1+T) \quad \forall t_1$$

(ad esempio \rightarrow motori a combustione interna)

• SOLLECITAZIONI DINAMICHE \rightarrow da rotolino

\Rightarrow lo si fa aggiungendo un VOLANO (cavaliere con grande momento di inerzia) capace di immagazzinare l' E_C e restituirlo nel momento più opportuno \Rightarrow fluttazioni meno ampie

Distinguiamo due fasi:

(93)

A) $0 < \theta < \theta_1$

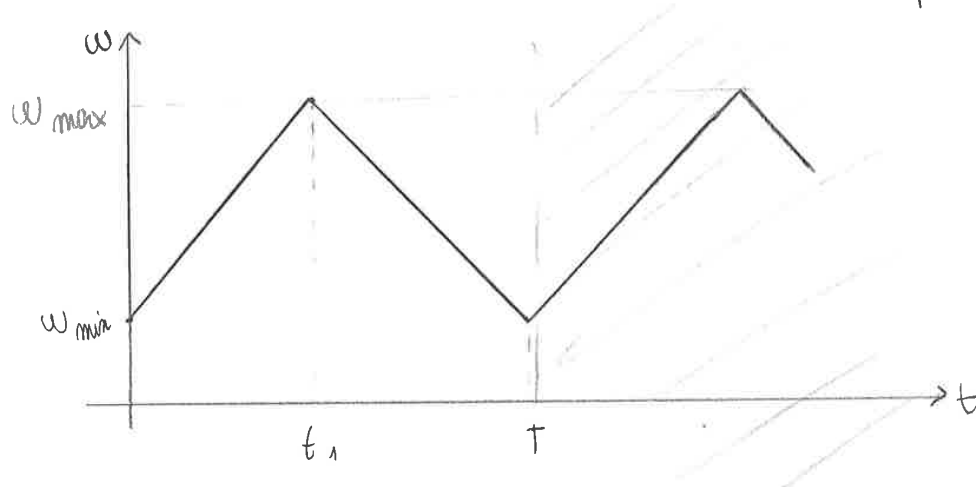
$$C_{\text{MAX}} - C_r = I \dot{\omega}$$

$$\dot{\omega} = \frac{C_{\text{MAX}} - C_r}{I} > 0 \Rightarrow \omega \text{ aumenta linearmente nel tempo}$$

B) $\theta_1 < \theta < \bar{\theta}$

$$-C_r = I \dot{\omega}$$

$$\dot{\omega} = -\frac{C_r}{I} < 0 \Rightarrow \omega \text{ decresce linearmente nel tempo}$$



$$\theta(t_1) = \theta_1 \\ \theta(T) = \bar{\theta}$$

$$\omega_{\text{medio}} = \frac{1}{T} \int_0^T \omega(t) dt$$

In questo caso $\omega_{\text{medio}} = \frac{\omega_{\text{min}} + \omega_{\text{max}}}{2}$

In generale si definisce

$$\boxed{\omega_{\text{medio}} = \frac{\omega_{\text{max}} + \omega_{\text{min}}}{2}}$$

In generale, quando C_M e/o C_R non sono costanti, detta θ , l'ampio fino al quale

$$C_M > C_R$$

$$\theta = \frac{\int_0^{\theta} (C_M - C_R) d\theta}{I \omega^2 \text{medie}}$$

(95)

Permette di

- 1) ricavare E
- 2) calcolare I (motore, conica + veloce) per ottenere un certo E

EQUILIBRAMENTO (o equilibratura)

ROTORE un corpo rotante collegato ad un albero
 Esistono sempre degli squilibri (equilibramento \rightarrow si dice lo squilibrio)

Si applicano l'EQ. CARDINALI DELLA DINAMICA

$$\left\{ \begin{array}{l} \sum \vec{F}_e + \vec{F}^i = \sum \vec{F}_e - m \vec{a}_G = \vec{0} \\ \sum \vec{M}_{eG} + \vec{M}^i = \sum \vec{M}_{eG} - \frac{d \vec{K}_G}{dt} = \vec{0} \end{array} \right. \quad \begin{array}{l} (1) \\ (2) \end{array}$$